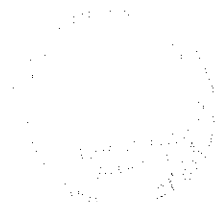


## **PROBLEMÁTICA ASOCIADA A LA PRESENCIA DE METABOLITOS Y PRODUCTOS DE TRANSFORMACIÓN DE FÁRMACOS EN LAS AGUAS DEL ENTORNO MEDITERRÁNEO**

Noviembre 2018



### EQUIPO DE TRABAJO

Dr. FÉLIX HERNÁNDEZ HERNÁNDEZ

Dr. IGNACIO MORELL EVANGELISTA

Dra. MARÍA IBÁÑEZ MARTÍNEZ

Instituto Universitario de Plaguicidas y Aguas  
Universitat Jaume I

## Índice

1.	Los fármacos en el medio ambiente.....	5
2.	Problemática asociada a los metabolitos y productos de transformación .....	7
3.	Antecedentes sobre presencia de metabolitos de fármacos en aguas: caso particular del área mediterránea.....	8
4.	Estudios de degradación de fármacos .....	11
5.	Tendencias analíticas y retos futuros .....	14
6.	Conclusiones y recomendaciones.....	15
7.	Referencias.....	17

Desde hace más de una década, el Instituto Universitario de Plaguicidas y Aguas (IUPA) de la Universitat Jaume I (UJI) investiga la presencia de contaminantes emergentes (CE) en aguas residuales y superficiales mediante diferentes proyectos de investigación regionales, nacionales como europeos. El IUPA, en el año 2004, fue pionero en la Comunidad Valenciana, con un proyecto de investigación en el que se abordaba esta problemática (*Identificación, cuantificación y confirmación de nuevos contaminantes (fármacos y hormonas) en muestras de aguas mediante cromatografía líquida acoplada a espectrometría de masas en tandem*, Generalitat Valenciana, 2004).

Los resultados de los proyectos de investigación en esta línea de trabajo se han plasmado en 30 artículos científicos publicados en revistas internacionales especializadas de alto impacto (Analytical Chemistry, Journal of Chromatography A, Science of the Total Environment, Chemosphere, Water Research, etc), así como la elaboración de varias tesis doctorales. Todos estos logros han consolidado al IUPA como referente, tanto a nivel nacional como internacional, en el estudio de contaminantes emergentes en aguas medioambientales y residuales.

La problemática general asociada a los contaminantes emergentes, en particular en lo relativo a presencia y comportamiento de productos farmacéuticos y sus metabolitos en las aguas residuales depuradas, constituye uno de los mayores obstáculos para alcanzar el buen estado ecológico de las masas de agua, tanto superficiales como subterráneas y aguas de transición. Desde el punto de vista científico-tecnológico, el estudio de productos farmacéuticos presenta gran complejidad y requiere avanzar respecto a las capacidades actuales, tanto en técnicas analíticas de identificación, como en la mejora de la eliminación de estos compuestos en plantas de tratamiento de aguas residuales, y en el estudio de su comportamiento en el medio ambiente, teniendo en cuenta no sólo los propios fármacos sino también sus productos de transformación/metabolismo.

En 2017, el IUPA llevó a cabo el proyecto titulado "*Estado del arte sobre la presencia de productos farmacéuticos y sus metabolitos en los efluentes de las aguas residuales urbanas*", también enmarcado en el convenio entre la Generalitat Valenciana, a través de la Consejería de Agricultura, Medio Ambiente, Cambio Climático y Desarrollo Rural, y la UJI de Castelló.

El trabajo se centró en la revisión de las diferentes investigaciones realizadas desde 2008 hasta 2017 sobre la presencia de fármacos y hormonas en distintos tipos de aguas: efluentes de depuradora, aguas superficiales (ríos principalmente), aguas subterráneas y en algún caso, aguas de red (aguas de grifo). En este estudio se presentó amplia información sobre detecciones y cuantificaciones de fármacos y hormonas en aguas del entorno mediterráneo. Para cada compuesto se incluyó su estructura, el tipo de agua analizada (superficial, subterránea o de depuradora) y la localización geográfica del punto de muestreo (área o región, y país), la frecuencia de detección, el rango de concentraciones encontrado y finalmente la referencia bibliográfica del artículo que lo menciona.

Del trabajo realizado se dedujo que son numerosos los fármacos presentes en las aguas de efluentes urbanos, y se destacaron algunos compuestos o familias de compuestos relevantes que deberían ser objeto de control periódico, por su frecuente presencia en las aguas.

Hay que destacar que, si bien los fármacos están presentes en las aguas, muy poco se sabe sin embargo sobre sus metabolitos y/o productos de transformación/degradación. Algunas publicaciones recientes indican que los fármacos encontrados en las aguas son tan sólo la punta del iceberg en lo relativo a la problemática ambiental asociada al consumo de productos farmacéuticos. Por ello, en el presente proyecto propuesto para el ejercicio 2018, se pretende profundizar en esta problemática, presentando un estudio detallado sobre los antecedentes relativos a metabolitos y TPs de fármacos en las aguas y sobre la problemática analítica y ambiental asociada a estos compuestos.

La problemática abordada es compleja y objeto de preocupación creciente en la sociedad actual debido al elevado consumo de fármacos y a su presencia casi ubicua en las aguas. Por otro lado, el IUPA tiene capacidad demostrada, a través de sus investigaciones, publicaciones y proyectos en la última década, para abordar esta problemática, tanto en su vertiente puramente analítica, basada en el uso de acoplamientos instrumentales cromatografía/espectrometría de masas, como en los aspectos medioambientales.

En el presente informe se presenta el trabajo realizado en el marco del convenio entre la Conselleria de Agricultura, Medio Ambiente, Cambio Climático y Desarrollo Rural y la Universitat Jaume I de Castellón para la ejecución, en el ejercicio 2018, de proyectos de investigación aplicados a recursos hídricos en la Comunidad Valenciana". El trabajo lleva por título "*Problemática asociada a la presencia de metabolitos y productos de transformación de fármacos en las aguas del entorno mediterráneo*" y se puede considerar como un complemento y/o ampliación del realizado en el convenio de 2017.

## 1. Los fármacos en el medio ambiente

Se estima que hoy en día se utilizan como fármacos aproximadamente 3000 sustancias diferentes, incluyendo analgésicos, antibióticos, antidiabéticos, betabloqueantes, anticonceptivos, reguladores de lípidos, antidepresivos y fármacos para la impotencia. Sin embargo, la mayoría de estudios ambientales se han centrado en una pequeña parte de estos compuestos (Rodríguez-Narváez, 2017).

Aunque los productos farmacéuticos han estado presentes en el agua durante décadas, sus niveles en el medio ambiente sólo han comenzado a ser cuantificados y reconocidos como potencialmente peligrosos para los ecosistemas a partir del año 2000 aproximadamente (Kolpin et al., 2002). El desarrollo de nuevas técnicas analíticas (principalmente, cromatografía líquida acoplada a espectrometría de masas en tandem (LC-MS/MS)) ha permitido la detección de concentraciones extremadamente bajas (ng/L) en aguas residuales (Kanda et al., 2003; Hernández et al., 2007), así como en aguas superficiales y subterráneas (Boyd et al., 2003; Drewes et al., 2003). Los avances en la instrumentación analítica han permitido descubrir muchos de estos compuestos y sus metabolitos en las aguas, pues sus bajas concentraciones, junto con la dificultad de llevar a cabo una identificación fiable, dificultan enormemente los análisis, especialmente en muestras complejas como las aguas residuales. Los acoplamientos cromatografía/espectrometría de masas de alta y baja resolución son imprescindibles en este campo, y su importancia ha sido destacada en la literatura científica (Hernández et al, 2014; 2018a; 2018b).

El consumo de fármacos aumenta cada año. Se estima que en 2016, la venta de fármacos ascendió a 967 billones de dólares, de los cuales 201 billones correspondían a la Unión Europea (<https://www.statista.com/statistics/272181/world-pharmaceutical-sales-by-region/>). No se pueden negar los efectos positivos para la salud y la necesidad de su consumo para mejorar nuestra calidad de vida, pero junto a estos aspectos positivos, puede existir también un problema asociado a un consumo excesivo y a la falta de sistema adecuados para su eliminación en las plantas de tratamiento de aguas residuales (WWTP); por ello, su presencia en las aguas podría llegar a convertirse en un problema mundial si no se toman las medidas adecuadas.

Aunque se ha cuestionado si los bajos niveles de concentración (~ng/L) encontrados en el medio ambiente pueden llegar a producir efectos adversos en la vida silvestre o en seres humanos, varios estudios han mostrado el impacto de estas sustancias. Aunque estén presentes a bajas concentraciones, pueden resultar ambientalmente relevantes. Así, por ejemplo, se cree que alrededor del 95% de la población total de buitres en Pakistán (> 95% de la población total) murió a causa del diclofenaco administrado al ganado que posteriormente ingerían las aves necrófagas (Oaks et al., 2004). Otro ejemplo sería la feminización y el colapso de las poblaciones de peces silvestres por niveles extremadamente bajos (por ejemplo, 5-6 ng/L), pero continuos en el tiempo, del compuesto estrogénico EE2 presente en un lago experimental de Ontario, Canadá (Kidd et al .2007). En cualquier caso, no existe unanimidad en cuanto a los efectos causados a largo plazo, y es especialmente complicado valorar el efecto sinérgico producido por la mezcla de compuestos que se encuentra en las aguas. Por

ello, es necesario ampliar las investigaciones sobre su presencia en el medio ambiente y sus posibles efectos sobre los seres vivos.

Los antibióticos son objeto de especial preocupación, debido a los riesgos asociados al desarrollo de microorganismos resistentes a antibióticos (Keen y Montforts, 2012; Makowska et al., 2016; Manaia et al., 2016). La evaluación de riesgos asociados a estos contaminantes emergentes es una prioridad actual en el campo de las aguas y existe una tendencia creciente favorable a incluir estos compuestos en la legislación sobre calidad de las aguas (Brack et al., 2012; Brack et al., 2017).

La descarga de fármacos y sus metabolitos en el medio ambiente acuático es un proceso que ocurre a nivel mundial. Der Beek et al (Der Beek, 2015) han llevado a cabo una revisión muy completa de la literatura existente, destacando que en 71 países se han detectado productos farmacéuticos. En ese trabajo se reporta que un total de 631 fármacos, tanto de uso en humanos como de uso veterinario, han sido cuantificados por encima del límite de detección. Se concluye que, a nivel mundial, la principal fuente de contaminación es la descarga de aguas residuales urbanas, aunque las emisiones de la industria farmacéutica, la agricultura, y la acuicultura también pueden ser muy importantes a nivel local.

Muchos de estos productos químicos, de uso en el ámbito del hogar, terminan liberándose en nuestras aguas residuales urbanas. Debido a que la mayoría se elimina de manera incompleta en el tratamiento de las aguas residuales, se suelen encontrar concentraciones significativas en los efluentes de las aguas residuales y finalmente pueden llegar a las aguas superficiales (Gracia-Lor, 2012; Bijlsma, 2014). En algunos países se ha llegado a reportar la presencia de productos farmacéuticos y hormonas incluso en el agua potable (Loos et al., 2007, Caldas et al., 2013, Kleywegt et al. 2011; Metcalfe et al., 2010; Servos et al., 2007).

Zonas aisladas, en áreas remotas del planeta, como la Antártida tampoco se ven libres de estos compuestos, pues su uso en las bases científicas o militares hace que estén presentes en las aguas residuales que, al ser tratadas generalmente por sistemas convencionales, no llegan a eliminarlos, con el consiguiente vertido al océano (Hernández et al, 2019; González-Alonso et al, 2017). Esto demuestra que la problemática asociada a la presencia de fármacos en las aguas es un fenómeno a escala mundial, que debe ser abordado también a escala planetaria para prevenir y/o evitar los posibles riesgos y efectos secundarios para el medio ambiente y los seres vivos.

## **2. Problemática asociada a los metabolitos y productos de transformación**

En los últimos años, la presencia de residuos farmacéuticos en el medio ambiente (y especialmente en el medio acuático) ha sido objeto de creciente preocupación, debido a los posibles efectos adversos a largo plazo esperados sobre los organismos acuáticos y terrestres (Hernando et al., 2006a; Rivera-Utrilla, 2013).

Después de su administración, los productos farmacéuticos pueden ser excretados como compuestos inalterados sin transformarse (Hirsch et al., 1999, Calamari et al., 2003) o pueden ser metabolizados mediante reacciones bioquímicas, vía dos rutas: una primera, en la que se producen reacciones de oxidación, reducción, hidrólisis y alquilación; y una segunda ruta, en la que se forman principalmente conjugados tipo glucurónido o sulfato. En el caso de las aminas, también se pueden formar conjugados con grupos acilo o succinilo (Gulde, 2016). Finalmente, terminan excretándose por la orina o bilis en forma de derivados más polares e hidrófilos, ya sea como un único metabolito mayoritario o como una mezcla de múltiples metabolitos (Silverman y Hoffman, 1984, Heberer, 2002a). Todos estos compuestos, fármacos y sus metabolitos, pasan a las aguas residuales, a través de las heces o la orina después de su consumo, y finalmente terminan en el medio ambiente si no son eliminadas de forma eficiente en la plantas de tratamiento.

Los tratamientos convencionales usados en las plantas de tratamiento de agua residual no suelen ser suficientes para mineralizar por completo los fármacos, que en la mayoría de casos se convierten en productos de transformación estables (Ternes 2015). Algunos de estos fármacos también pueden transformarse en el medio ambiente. Esto ocurre típicamente por degradación microbiana, fotólisis e hidrólisis. Este sería, por ejemplo, el caso del descubrimiento de oxipurinol, que se formó por la degradación microbiana del fármaco alopurinol en el tratamiento de aguas residuales (Funke et al., 2015). Los productos de degradación/transformación (TPs) suelen ser más estables en el medio ambiente y pueden encontrarse a menudo a niveles más altos que los compuestos originales. Aunque no es lo habitual, en ocasiones los productos de transformación pueden ser más tóxicos que los propios compuestos de partida (Sang et al., 2014). Los TPs también pueden conservar la actividad para la que fueron diseñados los fármacos originales, como ocurre para algunos TPs de antibióticos, que conservan los grupos químicos centrales que les confieren dicha actividad antimicrobiana.

Los fármacos y sus productos de transformación también pueden reaccionar con desinfectantes usados en el agua potable o en tratamientos de aguas residuales para formar subproductos de desinfección. Entre los ejemplos más típicos se incluye la formación del compuesto carcinógeno nitrosodimetilamina (NDMA) cuando el antibiótico azitromicina reacciona con monocloramina (Shen y Andrews, 2011) o la formación del compuesto genotóxico yodoacético cuando el compuesto para contraste de imagen médica iopamidol reacciona con cloro (Duirk et al., 2011).

Por todo lo indicado, resulta necesario prestar especial atención a los metabolitos/TPs de los fármacos, pues, aunque necesario, el control, exclusivamente de los fármacos inalterados, puede resultar insuficiente para valorar el impacto sobre el medio ambiente y efectuar la evaluación de riesgos.

### **3. Antecedentes sobre presencia de metabolitos de fármacos en aguas: caso particular del área mediterránea**

En un estudio reciente sobre el papel de la Química Analítica en el campo de la exposición a contaminantes, se ha resaltado la necesidad de investigar la presencia de metabolitos/TPs en las aguas debido al escaso conocimiento existente y a sus posibles efectos negativos sobre la salud pública y el medio ambiente acuático (Hernández, 2018b). En este sentido, es importante remarcar que el número de metabolitos/productos de transformación investigados en aguas sigue siendo muy bajo en comparación con el de número de fármacos, aunque se espera un cambio en esta tendencia en los próximos años.

En el **Anexo I** del presente informe se muestran los datos encontrados sobre presencia de metabolitos/productos de transformación de fármacos en el área Mediterránea en los últimos diez años. Los fármacos se encuentran agrupados por familias, de la siguiente manera:

- Analgésicos/antiinflamatorios (*Tabla 1*)
- Antibióticos (*Tabla 2*)
- Bloqueadores de los canales de calcio (*Tabla 3*)
- Anestésicos (*Tabla 4*)
- Reguladores de lípidos (*Tabla 5*)
- Medicamentos psiquiátricos (*Tabla 6*)
- $\beta$ -Bloqueantes (*Tabla 7*)
- Inhibidores de la bomba de protones (*Tabla 8*)
- Antihipertensivos (*Tabla 9*)
- Otros fármacos (*Tabla 10*)
- Hormonas (*Tabla 11*)

En cada tabla, se indica el nombre del fármaco, la zona/país de estudio, el tipo de agua analizada, el número de muestras positivas frente al número de muestras analizadas (cuando se dispone de esta información), el rango de concentraciones encontradas, y finalmente la referencia del trabajo.

A continuación, se comentan brevemente cada una de las tablas, resaltando aquellos metabolitos que han sido detectados con mayor frecuencia y a concentraciones más altas. Dado que resulta complicado comparar los datos (no todos los compuestos han sido analizados el mismo número de veces, las muestras de agua son totalmente diferentes de unas a otras, los métodos analíticos aplicados incluyen diferentes fármacos en cada uno de los trabajos, etc...), se dan unas pinceladas generales sobre cada familia estudiada.

En cuanto a los **analgésicos/antiinflamatorios** (*Tabla 1*), los compuestos más estudiados son, sin lugar a dudas, los metabolitos del metamizol o dipirona (conocido popularmente por el nombre comercial de Nolotil). Es bien conocido que el metamizol es una pro-droga, hidrolizada

en el tracto intestinal para dar 4-metilaminoantipirina (4-MAA), que es el metabolito activo. El 4-MAA es metabolizado en el hígado hacia un segundo metabolito activo, el **4-aminoantipirina** (4-AA), que finalmente se transforma en los metabolitos inactivos **4-formilaminoantipirina** (4-FAA) y **4-acetilaminoantipirina** (4-AAA). Estos tres metabolitos (4-AA, 4-AAA y 4-FAA) han sido frecuentemente detectados tanto en aguas de efluente como en agua superficial e incluso subterránea.

Por lo que respecta a los **antibióticos** (**Tabla 2**), se pueden destacar los metabolitos del sulfametoazol. Concretamente, el **N-acetilsulfametoazol** fue detectado en una muestra de efluente a una concentración cercana a 1 ppb. Este compuesto, sin embargo, apenas ha sido detectado en aguas medioambientales.

En cuanto a los **bloqueantes de los canales de calcio** (**Tabla 3**) solo el **norverapamil**, metabolito del verapamil, ha sido investigado. Este compuesto se ha encontrado tanto en efluente de agua residual como en agua superficial.

En cuanto a anestésicos, se han detectado los principales metabolitos del fentanilo y de la ketamina, **norfentanilo** y **norketamina** (**Tabla 4**), en efluentes de la Isla de Santorini en concentraciones de unas pocas ppt. Estos analgésicos también se pueden utilizar como drogas de abuso, por lo que su presencia en las aguas puede ser debida a una utilización "no médica", sino de tipo recreacional.

Los fibratos son derivados de ácidos ariloxicarboxílicos que se emplean terapéuticamente como **hipocolesterolémicos** (**Tabla 5**), aunque su perfil farmacológico es bastante más amplio. En esta familia de reguladores de lípidos, destaca, por su frecuencia en las aguas, el clofibrato, un profármaco del **ácido clofibríco**, que es la especie activa aunque escasamente absorbible por vía oral, lo que justifica el empleo de ésteres como profármacos [Introducción a la Química terapéutica, A. Delgado, C. Minguillón, J. Joglar, Ediciones Diaz de Santos, 2004, ISBN 84-7978-601-9, 2<sup>a</sup> edición]. Este compuesto ha sido ampliamente encontrado en efluente y en agua superficial, tanto en Grecia como en España o Chipre. Otros metabolitos de reguladores de lípidos encontrados en aguas son 2-OH-atorvastatina, ácido fenofibríco y GSWB1, este último derivado del gemfibrofil.

En cuanto a los medicamentos **psiquiátricos** (**Tabla 6**, **antipsicóticos**, **antiepilepticos** y **antidepresivos**), cabe resaltar que se han detectado numerosos metabolitos en las aguas de compuestos como carbamazepina, venlafaxina, diazepam, clonazepam, oxazepam, triazolan, entre otros. Destacan los derivados de la carbamazepina, la cual se metaboliza en el hígado, generando el metabolito **carbamazepina-10,11-epóxido** que es farmacológicamente activo. Este fármaco ejerce su actividad farmacológica principalmente a través de su metabolito **10,11-dihidro-10-hidroxi-carbamazepina**. Ambos metabolitos han sido cuantificados a concentraciones altas tanto en efluente como en agua superficial.

Por lo que se refiere a los **beta-bloqueantes** (**Tabla 7**), los metabolitos del metoprolol han sido solo detectados en efluente, con concentraciones máximas del **metoprolol ácido** (metabolito inactivo de este fármaco) de 2 µg/L. También se ha encontrado un glucorónido del propanolol en las aguas.

En cuanto a los **inhibidores de bomba de protones** (**Tabla 8**), se ha investigado la presencia tanto de los **metabolitos** como de los **productos de transformación del omeprazol**. El omeprazol es uno de los fármacos más consumidos para el tratamiento de enfermedades gástricas. Sin embargo, este compuesto no se detecta ni en las aguas de depuradora ni en las medioambientales. En un estudio detallado realizado por nuestro grupo de investigación (Boix et al., 2013; 2014), se elucidaron los principales metabolitos de este fármaco así como sus productos de transformación en estudios controlados llevados a cabo en el laboratorio. La búsqueda de estos compuestos en diferentes aguas medioambientales reveló la presencia de una gran número de estos metabolitos y también de algunos TP. Por lo que se refiere a la **ranitidina**, ésta no se suele considerar antihistamínico ya que su acción se ejerce sobre los receptores tipo 2 de la histamina, actuando sólo a nivel de estómago. En este caso, sólo se han encontrado estudios relacionados con la **ranitidina-N-oxido**. La ranitidina se metaboliza en el hígado a N-oxido y S-oxido. El 6% de la dosis que se excreta en la orina se halla en forma de óxido de nitrógeno y 2% como óxido de azufre.

En el caso de los **antihipertensivos** (**Tabla 9**), destacan **irbesartan**, del que se han detectado hasta **5 TP**s en aguas de efluente y aguas superficiales de diferentes puntos de la Comunidad Valenciana, así como enalapril, cuyo metabolito **enalaprilato** se ha encontrado en aguas de la Comunidad Valenciana así como del río Ebro.

También se han encontrado metabolitos de otro fármacos no incluidos en los grupos anteriores. Destaca la presencia de hasta 6 diferentes **metabolitos de la morfina**, detectándose su presencia solo en aguas residuales (tanto influente como efluente), aunque los análisis realizados no permiten diferenciar el origen del uso del compuesto, bien como fármaco, bien como droga ilícita (**Tabla 10**).

Finalmente, en cuanto a las **hormonas** (**Tabla 11**), se han estudiado principalmente los metabolitos de fase II, como son los sulfatos y los glucurónidos. Se han encontrado en las aguas **metabolitos de estradiol, estriol y estrona**. Destaca la concentración encontrada para **estrona-3-sulfato** en el influente de una planta de tratamiento de aguas residuales de Tarragona, alcanzándose 20 ppb. Estos niveles descienden hasta valores inferiores al LOQ en las muestras de efluente.

#### **4. Estudios de degradación de fármacos**

La investigación sobre la presencia de fármacos en el medioambiente ganó popularidad a partir de los años 90. Desde entonces, el interés en estos compuestos ha ido en aumento. Hasta la fecha, se ha publicado un importante número de revisiones y varios miles de artículos originales sobre fármacos, que estudian sus posibles fuentes, su presencia en los diferentes compartimentos del medio ambiente (así como la evaluación de sus niveles de concentración), su persistencia, su eliminación y sus posibles efectos sobre los seres vivos.

Como se ha comentado anteriormente, en el caso de fármacos de uso humano, una vez estos compuestos y/o metabolitos son excretados a través de la orina y las heces, pueden alcanzar las plantas de tratamiento de agua residual (EDAR) o, directamente, el agua superficial. En el caso de fármacos de uso veterinario, éstos son depositados directamente en el campo o usados en plantas de biogás. Una vez en la EDAR, los fármacos y metabolitos pueden sufrir una transformación, por ejemplo, mediante el uso de fangos activados (bien durante el tratamiento aeróbico del agua residual o durante la digestión anaeróbica del lodo), resultando en productos de transformación. Otras reacciones que podrían jugar un papel importante en la transformación de los fármacos en las EDAR serían las reacciones de hidrólisis y las reacciones oxidativas abiotícas.

La presencia de estos compuestos en las aguas superficiales y subterráneas podría ser explicada, en parte, por la ineficiencia de las tecnologías convencionales de tratamiento. Así pues, se necesitan tratamientos mejorados que reduzcan la descarga de residuos de fármacos en el medioambiente. En este sentido, la ozonólisis y los procesos de oxidación avanzada (AOPs) se postulan como soluciones prometedoras para el tratamiento del agua residual con el fin de mejorar la eliminación de los contaminantes orgánicos presentes en la misma. El ozono, que es un desinfectante efectivo y un potente oxidante, reacciona directamente como  $O_3$  molecular o vía la formación de radicales libres. El  $O_3$  molecular es un electrófilo selectivo que reacciona fácilmente con dobles enlaces, estructuras aromáticas y heteroátomos (por ejemplo nitrógeno y azufre), que son grupos sustituyentes comunes en los fármacos. Por el contrario, los fármacos sin grupos reactivos son más susceptibles a los radicales hidroxilo, que reaccionan menos selectivamente y a una mayor velocidad.

En la mayoría de aplicaciones, la cantidad de radicales hidroxilo formados a partir de  $O_3$  es generalmente baja, por lo que se suele combinar el ozono con peróxido de hidrógeno ( $O_3/H_2O_2$ ) con el fin de aumentar la concentración de  $\cdot OH$ . Otros AOPs utilizados consisten en  $H_2O_2/UV$ ,  $O_3/UV$ ,  $TiO_2/UV$ , fenton, foto-fenton...

Una vez en el medio ambiente, los fármacos pueden sufrir procesos de degradación naturales abiotícos, como por ejemplo fotolisis debida a la exposición a la luz directa del sol, así como los ya mencionados procesos de biodegradación o hidrólisis. Por otro lado, en los procesos de desinfección del agua potable se utilizan reacciones oxidativas no radicalarias. Los agentes desinfectantes por excelencia son la luz UV y el ozono, aunque históricamente, el proceso más conocido y empleado ha sido la cloración. Todos estos procesos no siempre mineralizan completamente los fármacos existentes, formándose frecuentemente TPs.

Así pues, los estudios deberían centrarse, no solo en el compuesto de partida, sino también en las moléculas resultantes de la incompleta mineralización en el cuerpo (metabolitos) o de reacciones que pueden tener lugar dentro de los sistemas de tratamiento de aguas residuales o una vez el compuesto ha sido liberado en el medio ambiente (productos de transformación). Sin embargo, la investigación sobre estos metabolitos/TPs no ha empezado hasta hace relativamente poco.

La identificación de los productos formados tras la incompleta degradación del fármaco original se ha convertido en uno de los mayores retos del análisis medioambiental. Debido a la falta de patrones de referencia comerciales para la mayoría de TPs, se necesita una técnica analítica muy potente para la elucidación estructural de los productos formados. Los avances producidos en los últimos años en la espectrometría de masas de alta resolución (HRMS), la han convertido en la técnica por excelencia a la hora de identificar metabolitos/TPs, debido a sus características de elevada sensibilidad y exactitud de masa. En este sentido, los analizadores híbridos cuadrupolo-tiempo de vuelo (QTOF) o trampa de iones lineal-orbitrap (LTQ-Orbitrap) se están utilizando cada vez más para este fin. Otras técnicas como RMN podrían resultar también muy útiles a la hora de confirmar la estructura de un compuesto. Sin embargo, dado que las muestras no son puras y los compuestos suelen encontrarse a concentraciones relativamente bajas, su aplicabilidad queda limitada.

Algunos de estos contaminantes pueden transformarse durante el tratamiento de aguas residuales y en el medio ambiente. Esto ocurre típicamente por degradación microbiana, fotólisis e hidrólisis. Este sería, por ejemplo, el caso del descubrimiento de oxipurinol, que se formó por la degradación microbiana del fármaco allopurinol en el tratamiento de aguas residuales (Funke et al., 2015). Los productos de transformación (TPs) suelen ser más estables en el medio ambiente y pueden encontrarse a menudo a niveles más altos que los compuestos progenitores. Además, los productos de transformación pueden ser a veces más tóxicos que los propios compuestos de partida (Sang et al., 2014).

El equipo de investigación del IUPA ha realizado un buen número de estudios de degradación y metabolismo de fármacos con el objetivo de identificar los compuestos que se pueden formar en el medio ambiente, ya que muchas veces son desconocidos. Nuestros estudios han permitido identificar numerosos metabolitos y TPs de fármacos como omeprazol (Boix et al., 2013; 2016a), venlafaxina, ibuprofeno, ofloxacino, irbesartan o valsartan, entre otros (Boix et al., 2016b) en experiencias controladas de laboratorio, así como en muestras de aguas (Boix et al., 2014; Ibañez et al., 2017). Los datos reportados en la bibliografía indican que la detección del fármaco inalterado en aguas es tan sólo la punta del iceberg, pues la presencia de metabolitos/TPs es más frecuente, siendo numerosos los compuestos de este tipo que pueden llegar a encontrarse en las aguas.

En el **Anexo 2** del presente informe se muestra un resumen de los datos encontrados en estudios de degradación de fármacos en los últimos 5 años (2013-2018). Tan sólo se incluyen aquellos artículos en los que se elucidan los posibles TPs formados en los diferentes experimentos. Hay que tener en cuenta que muchos artículos solo se centran en observar la "desaparición" del compuesto de partida sin tener en cuenta los nuevos productos formados. Algunos de los TPs elucidados en este tipo de experiencias han sido posteriormente buscados y detectados en aguas medioambientales o de influente. En la Tabla se indica el fármaco

estudiado, el tipo de degradación llevado a cabo, la instrumentación utilizada para elucidar los TPs formados, la matriz en la cual se han llevado a cabo los experimentos, el número de TPs detectados así como otros datos que podrían ser de interés (por ejemplo, si se llevan a cabo estudios de toxicidad u otras variables estudiadas).

Los procesos más estudiados han sido los siguientes:

- Fotodegradación, usando luz solar o luz UV, bien sola o en combinación con H<sub>2</sub>O<sub>2</sub>, TiO<sub>2</sub> o Fe (II)
- Ozonólisis
- Hidrólisis, tanto a pH básico, neutro como ácido

En la Tabla se observa que se producen numerosos productos de degradación en los procesos investigados. Por ello, el número de compuestos a investigar que, potencialmente, podrían formarse en el medio ambiente es muy superior al de fármacos comercialmente utilizados. Algunos de los compuestos identificados en experiencias de laboratorio se han encontrado posteriormente en las aguas, lo cual demuestra la utilidad de este tipo de experimentos.

La investigación de metabolitos de fármacos en el medio ambiente, así como de metabolitos de otros contaminantes orgánicos, como pesticidas, productos de cuidado personal, desinfectantes, etc, es un tema muy complejo, que será objeto de numerosas investigaciones en el futuro próximo, tal como se ha reportado recientemente (Hernández et al, 2018).

## **5. Tendencias analíticas y retos futuros**

En el informe correspondiente al convenio de 2017 se describieron las principales tendencias y retos futuros de la química analítica en este campo. Dichas tendencias y retos son igualmente aplicables al caso de los metabolitos de fármacos.

En el presente informe, focalizado en la problemática de metabolitos, cabe resaltar la importancia de la cromatografía líquida (LC) acoplada a espectrometría de masas de alta resolución (HRMS), que se ha convertido en una de las técnicas preferidas para elucidar los TPs en el medio ambiente (Hernández et al, 2014; Ibáñez et al, 2017). Los analizadores de masa de alta resolución, como el tiempo de vuelo (TOF) u Orbitrap, presentan elevada sensibilidad en modo de barrido completo de iones (ya que un gran porcentaje de los iones generados llegan al detector), elevada velocidad de barrido, alto poder de resolución y posibilidad de obtener medidas con masa exacta de los iones detectados, trabajando en modo MS (y en modo MS/MS si se dispone de un QTOF o un QOrbitrap). Todas estas características hacen que HRMS sea ideal para el análisis cualitativo, en el que se persigue la detección e identificación del mayor número posible de compuestos; caso típico de los metabolitos. En contraste con el análisis clásico tipo "target", HRMS permite el cribado de un número muy elevado de contaminantes una vez adquiridos los datos, aún cuando no se disponga de patrones de referencia (Hernández et al, 2015).

Las tendencias actuales se dirigen hacia la investigación de metabolitos y TPs en el medio ambiente acuático usando una combinación de técnicas para amplio screening e identificación, basadas en HRMS, junto con técnicas de análisis cuantitativo (ej. LC-MS/MS con triple cuadrupolo) cuando el metabolito/TP identificado en las muestras es importante (abundante y/o relevante toxicológicamente) y el patrón de referencia está disponible comercialmente.

La necesidad de mejorar los procesos de eliminación de fármacos en plantas de tratamiento, obliga a aplicar técnicas analíticas sofisticadas para monitorizar la evolución de las concentraciones del compuesto estudiado (generalmente de tipo cuantitativo), junto con HRMS para la elucidación de los productos de degradación generados. El apropiado control de estos procesos (por ejemplo, procesos avanzados de oxidación), requiere no sólo conocer la evolución de la concentración del fármaco, sino también la formación de sub-productos que podrían ser problemáticos para el medio ambiente.

## **6. Conclusiones y recomendaciones**

- Sobre la base del estudio realizado en este trabajo y en el correspondiente al año 2017 sobre presencia de fármacos en aguas del entorno mediterráneo, se concluye que estos compuestos, tanto los fármacos inaltaredos como sus metabolitos y TPs, se detectan habitualmente en las aguas residuales tratadas, e incluso en las aguas superficiales receptoras de efluentes urbanos. Los fármacos y metabolitos detectados pertenecen a diversas familias terapéuticas, por lo que no parece existir un grupo concreto de compuestos que deba ser objeto de especial atención en lo relativo a su presencia en aguas. Si bien, preocupan especialmente los antibióticos, no porque sean más frecuentes en las aguas, sino por las resistencias que se vienen observando en comunidades microbianas afectadas por vertidos de aguas residuales. La información detallada sobre compuestos encontrados en las aguas del área mediterránea y sus niveles de concentración, cuando estos han sido reportados, se encuentra en las tablas que forman parte del Anexo 1 del informe.
- Aunque se han hecho progresos notables en cuanto a identificación y cuantificación de fármacos y metabolitos/TPs, los datos existentes apuntan a que aún quedan muchos metabolitos y TPs por identificar en las aguas. Algunos son ya conocidos, pero se requieren nuevas investigaciones para identificar compuestos que aún no han sido reportados. Los resultados mostrados en el Anexo 2 de este informe indican que son muchos los posibles productos de degradación de los fármacos. Son necesarias más experiencias sobre degradación de fármacos, con el fin de aportar datos sobre productos de degradación formados, que, posteriormente, deben ser buscados en las aguas.
- Se requieren avances notables para mejorar los sistemas de tratamiento de aguas residuales urbanas, pues son la fuente principal de contaminación por fármacos en el medio acuático. Los sistemas convencionales aplicados en la mayoría de EDAR no eliminan completamente muchos de los contaminantes emergentes presentes en las aguas, incluidos los fármacos. Por ello, es necesario implementar tratamientos adicionales que mejoren la eficacia de dichos sistemas.
- Los esfuerzos de la comunidad científica se dirigen hacia ámbitos que deben reforzarse y que serán objeto de intenso debate y discusión en los próximos años. El conocimiento detallado del comportamiento ambiental de los fármacos y sus metabolitos/TPs, los riesgos (eco)toxicológicos que entraña su presencia en las aguas, y el desarrollo de estrategias eficaces de eliminación de estos compuestos son retos importantes que quedan por abordar.
- Son necesarios programas de control en los que se apliquen metodologías de amplio "screening" usando estrategias combinadas tipo "target y non-target". En los análisis "target" se deberían usar amplias listas de compuestos, incluyendo no sólo los fármacos, sino también metabolitos y TPs que hayan sido reportados en la literatura científica. En este sentido, los datos aportados en los anexos de este informe son

valiosos y serían un buen punto de partida para elaborar listas de metabolitos/TPs de interés. Estos análisis se deberían complementar con estrategias "non-target" que fueran capaces de detectar compuestos no esperados o desconocidos a niveles de concentración relevantes en las aguas. El objetivo de estos programas es detectar e identificar el mayor número de fármacos y derivados en las aguas, no limitando el enfoque a tan sólo unos pocos compuestos prioritarios.

- Los programas de control basados en screening deben complementarse con análisis cuantitativos dirigidos hacia compuestos relevantes detectados en los programas previos de "screening". De este modo, los esfuerzos se centrarían en los compuestos que realmente se encuentran en las aguas y no en listados que muchas veces tienen poco que ver con el estado real de contaminación de las aguas. Las listas de compuestos "target" se deberían completar con otros que fueran catalogados como prioritarios o que se encontraran en las listas de observación en las normativas europeas sobre calidad de las aguas.
- El papel de la Química Analítica moderna es fundamental para proporcionar datos sobre presencia y niveles de concentración de fármacos y metabolitos/TPs en las aguas. Se trata de un campo especializado que sólo puede abordarse con técnicas avanzadas de análisis, como cromatografía líquida-espectrometría de masas en tandem (LC-MS/MS) para análisis cuantitativo, o el acoplamiento cromatografía líquida-espectrometría de masas de alta resolución (QTOF, Orbitrap), capaz de proporcionar información sobre la estructura de estos compuestos, presentes a bajos niveles de concentración en las aguas (sub)-ppb (Hernández, 2018a, 2018b).
- A la luz de los resultados de los programas de control, deberían establecerse actuaciones con el fin de mejorar el estado de las aguas y disminuir la presencia de fármacos y metabolitos en las mismas. Aquellos compuestos que se encontraran a mayores concentraciones, y/o los que pudieran presentar un mayor riesgo, deberían ser vigilados con mayor énfasis, implementando en paralelo sistemas avanzados de eliminación con el objetivo de que los efluentes tratados quedaran libres de este tipo de compuestos, asegurando, de este modo, una mejor calidad del medio acuático.
- Entre los sistemas avanzados de tratamiento se encuentran los procesos de oxidación avanzada, y otras tecnologías como la ultra-centrifugación, el uso de membranas de ultra-filtración, o los filtros de carbón activo, que han mostrado buenos resultados en ciertos casos. Un aspecto crítico a considerar al aplicar estos tratamientos es asegurar que la salud humana o ambiental no se vea afectada por la formación de subproductos tóxicos, por lo que se debe asegurar no sólo la eliminación/degradación del compuesto objeto de estudio. También es necesario identificar los posibles productos de degradación/ transformación que se puedan formar durante el tratamiento.

## 7. Referencias

- Adeel, M., Song, X., Wang, Y., Francis, D., Yang, Y., 2017. Environmental impact of estrogens on human, animal and plant life: A critical review. *Environ. Int.* 99: 107-119
- Alder, A.C., McArdell, C.S., Golet, E.M., Ibric, S., Molnar, E., Nipales, N.S., Giger, W., 2001. Occurrence and fate of fluoroquinolone, macrolide, and sulfonamide antibiotics during wastewater treatment and in ambient waters in Switzerland. *ACS Symp. Ser.* 791: 56–69.
- Alidina, M., Hoppe-Jones, C., Yoon, M., Hamadeh, A.F., Li, D., Drewes, J.E., 2014. The occurrence of emerging trace organic chemicals in wastewater effluents in Saudi Arabia. *Sci. Total Environ.* 478: 152–162.
- Anumol, T., Snyder, S.A., 2015. Rapid analysis of trace organic compounds in water by automated online solid-phase extraction coupled to liquid chromatography-tandem mass spectrometry. *Talanta* 132: 77–86.
- Arnon, S., Dahan, O., Elhanany, S., Cohen, K., Pankratov, I., Gross, A., Ronen, Z., Baram, Shore, L.S., 2008. Transport of testosterone and estrogen from dairy-farm waste lagoons to groundwater. *Environ. Sci. Technol.*, 42: 5521-5526
- Aus der Beek, T., Weber, F.A., Bergmann, A., Hickmann, S., Ebert, I., Hein, A., Küster, A., 2016. Pharmaceuticals in the environment-Global occurrences and perspectives. *Environ. Toxicol. Chem.* 35: 823–835.
- Avberšek, M., Šömen, J., Heath, E., 2011 Dynamics of steroid estrogen daily concentrations in hospital effluent and connected waste water treatment plant. *J. Environ. Monit.*, 13: 2221-2226
- Ben, W., Qiang, Z., Pan, X., Chen, M., 2009. Removal of veterinary antibiotics from sequencing batch reactor (SBR) pretreated swine wastewater by Fenton's reagent. *Water Res.* 43: 4392–4402.
- Belfroid, A.C., Van Der Horst, A., Vethaak, A.D., Schäfer, A.J., Rijs, G.B.J., Wegener, J., Cofino, W.P., 1999. Analysis and occurrence of estrogenic hormones and their glucuronides in surface water and waste water in The Netherlands. *Sci Total Environ.* 225: 101-108
- Belhaj, D., Baccar, R., Jaabiri, I., Bouzid, J., Kallel, M., Ayadi, H., Zhou, J.L., 2015. Fate of selected estrogenic hormones in an urban sewage treatment plant in Tunisia (North Africa). *Sci. Total Environ.* 505: 154-160
- Bijsma, L., Serrano, R., Ferrer, C., Tormos, I., Hernández, F., 2014. Occurrence and behavior of illicit drugs and metabolites in sewage water from the Spanish Mediterranean coast (Valencia region). *Sci. Total Environ.* 487: 703–709.
- Boix, C., Ibáñez, M., Sancho, J. V., Niessen, W.M.A., Hernández, F., 2013. Investigating the presence of omeprazole in waters by liquid chromatography coupled to low and high resolution mass spectrometry: Degradation experiments. *J. Mass Spectrom.* 48: 1091-1100

Boix, C., Ibáñez, M., Zamora, T., Sancho, J.V., Niessen, W.M.A., Hernández, F. 2014. Identification of new omeprazole metabolites in wastewaters and surface waters. *Sci. Total Environ.* 468: 706-714

Boix, C., Ibáñez, M., Sancho, J. V., Rambla, J., Aranda, J.L., Ballester, S., Hernández, F., 2015. Fast determination of 40 drugs in water using large volume direct injection liquid chromatography-tandem mass spectrometry. *Talanta*. 131: 719-727

Boix, C., Ibáñez, M., Bagnati, R., Zuccato, E., Sancho, J. V., Hernández, F., Castiglioni, S., 2016a. High resolution mass spectrometry to investigate omeprazole and venlafaxine metabolites in wastewater. *J. Hazard. Mater.* 302: 332–340.

Boix, C., Ibáñez, M., Sancho, J. V., Parsons, J.R., Voogt, P. de, Hernández, F., 2016b. Biotransformation of pharmaceuticals in surface water and during waste water treatment: Identification and occurrence of transformation products. *J. Hazard. Mater.* 302: 175–187.

Boxall, A.B.A., Rudd, M.A., Brooks, B.W., Caldwell, D.J., Choi, K., Hickmann, S., Innes, E., Ostapyk, K., Staveley, J.P., Verslycke, T., Ankley, G.T., Beazley, K.F., Belanger, S.E., Berninger, J.P., Carriquiriborde, P., Coors, A., Deleo, P.C., Dyer, S.D., Ericson, J.F., Gagné, F., Giesy, J.P., Gouin, T., Hallstrom, L., Karlsson, M.V., Larsson, D.G., Lazorchak, J.M., Mastrotocco, F., McLaughlin, A., McMaster, M.E., Meyerhoff, R.D., Moore, R., Parrott, J.L., Snape, J.R., Murray-Smith, R., Servos, M.R., Sibley, P.K., Straub, J.O., Szabo, N.D., Topp, E., Tetreault, G.R., Trudeau, V.L., Van Der Kraak, G. 2012. Pharmaceuticals and personal care products in the environment: what are the big questions? *Environ Health Perspect*. 120: 1221–1229

Boyd, G.R., Reemtsma, H., Grimm, D.A., Mitra, S., 2003. Pharmaceuticals and personal care products (PPCPs) in surface and treated waters of Louisiana, USA and Ontario, Canada. *Sci. Total Environ.* 311: 135–149.

Brack, W.; Dulio, V.; Slobodnik, J., 2012. The NORMAN Network and its activities on emerging environmental substances with a focus on effect-directed analysis of complex environmental contamination. *Environ. Sci. Eur.* 24: 29.

Brack, W., Dulio, V., Agerstrand, M., Allan, I., Altenburger, R., Brinkmann, M., Bunke, D., Burgess, R.M., Cousins, I., Escher, B.I., Hernández, F.J., Hewitt, L.M., Hilscherová, K., Hollender, J., Hollert, H., Kase, R., Klauer, B., Lindim, C., López Herráez, D., Miège, C., Munthe, J., O'Toole, S., Posthuma, L., Rüdel, H., Schäfer, R.B., Sengl, M., Smedes, F., van de Meent, D., van den Brink, P.J., van Gils, J., van Wezel, A.P., Vethaak, A.D., Vermeirissen, E., von der Ohe, P.C., Vrana, B., 2017. Towards the review of the European Union Water Framework Directive: Recommendations for more efficient management of chemical contamination in European surface water resources. *Sci. Total Environ.* 576: 720–737.

Bush, K., 1997. Antimicrobial agents. *Curr. Opin. Chem. Biol.* 1: 169–175.

Calamari D, Zuccato E, Castiglioni S, Bagnati R, Fanelli R. 2003. Strategic survey of therapeutic drugs in the rivers Po and Lambro in northern Italy. *Environ Sci Technol*. 37:1241–1248.

- Caldas, S.S., Bolzan, C.M., Guilherme, J.R., Silveira, M.A.K., Escarrone, A.L.V., Primel, E.G., 2013. Determination of pharmaceuticals, personal care products, and pesticides in surface and treated waters: Method development and survey. *Environ. Sci. Pollut. Res.* 20: 5855–5863.
- Carballa, M., Omil, F., Lema, J.M., 2005. Removal of cosmetic ingredients and pharmaceuticals in sewage primary treatment. *Water Res.* 39: 4790–4796.
- Carmona, E., Vicente, A., Picó, Y. 2014. Occurrence of acidic pharmaceuticals and personal care products in Turia River Basin: From waste to drinking water. *Sci Total Environ* 484: 53–63.
- Cassani, S., Gramatica, P., 2015. Identification of potential PBT behavior of personal care products by structural approaches, *Sustain. Chem. Pharm.* 1: 19– 27
- Castiglioni, S., Fanelli, R., Calamari, D., Bagnati, R., Zuccato, E., 2004. Methodological approaches for studying pharmaceuticals in the environment by comparing predicted and measured concentrations in river Po, Italy. *Regul. Toxicol. Pharm.* 39: 25–32.
- Chen, F., Ying, G.G., Kong, L.X., Wang, L., Zhao, J.L., Zhou, L.J., Zhang, L.J., 2011. Distribution and accumulation of endocrine disrupting chemicals and pharmaceuticals in wastewater irrigated soils in Hebei, China. *Environ. Pollut.* 159: 1490–1498.
- Dai, G., Wang, B., Huang, J., Dong, R., Deng, S., Yu, G. (2015). Occurrence and source apportionment of pharmaceuticals and personal care products in the Beiyun River of Beijing, China. *Chemosphere* 119: 1033–1039.
- der Beek, T., Weber, F.A., Bergmann, A., Hickmann, S., Ebert, I., Hein, A., Küster, A.(2015) Pharmaceuticals in the environment—Global occurrences and perspectives. *Environ Toxicol and Chem*, 35: 823-835
- Directive 2013/39/EU of the European Parliament and of the Council of 12 August 2013 amending Directives 2000/60/EC and 2008/105/EC as regards priority substances in the field of water policy, Off. J. Eur. Union, L 226/1.
- Drewes, J.E., Fox, P., Jekel, M., 2001. Occurrence of iodinated X-Ray contrast media in domestic effluents and their fate during indirect potable reuse. *J. Environ. Sci. Health-Part A* 36: 1633–1645.
- Drewes, J.E., Heberer, T., Rauch, T., Reddersen, K., 2003. Fate of pharmaceuticals during ground water recharge. *Ground Water Monit. Remediation* 23: 64–72.
- Duirk, S.E., Lindell, C., Cornelison, C.C., Kormos, J., Ternes, T.A., Attene-Ramos, M., Osiol, J., Wagner, E.D., Plewa, M.J., Richardson, S.D., 2011. Formation of toxic iodinated disinfection by-products from compounds used in medical imaging. *Environ. Sci. Technol.* 45: 6845–6854.
- Estevez MC, Font H, Nichkova M, Salvador JP, Varela B, Sanchez-Baeza F, Marco MP.2005. Immunochemical determination of pharmaceutical and personal care products as emerging pollutants. *Handb Environ Chem.* 5: 181–244.
- Fernández, C., González-Doncel, M., Pro, J., Carbonell, G., Tarazona, J. V., 2010. Occurrence of pharmaceutically active compounds in surface waters of the Henares-Jarama-Tajo river system (Madrid, Spain) and a potential risk characterization. *Sci Total Env.* 408: 543–551.

Funke, J., Prasse, C., Eversloh, C.L., Ternes, T.A., 2015. Oxypurinol—A novel marker for wastewater contamination of the aquatic environment. *Water Res.* 74: 257–265.

González-Alonso,S., Merino, L.M., Esteban, S., López de Alda, M., Barceló, D., Durán, J.J., et al., 2017. Occurrence of pharmaceutical, recreational and psychotropic drug residues in surface water on the northern Antarctic Peninsula region, *Environ. Pollut.* 229: 241–254.

Gulde, R., Meier, U., Schymanski, E.L., Kohler, H.E.P., Helbling, D.E., Derrer, S., Rentsch, D., Fenner, K. (2016) Systematic Exploration of Biotransformation Reactions of Amine-Containing Micropollutants in Activated Sludge. *Environ. Sci. Technol.* 50: 2908–2920

Gracia-Lor, E., Sancho, J. V., Serrano, R., Hernández, F., 2012. Occurrence and removal of pharmaceuticals in wastewater treatment plants at the Spanish Mediterranean area of Valencia. *Chemosphere* 87: 453–462.

Gros, M., Petrovic, M., Barcelo, D., 2006. Development of a multi-residue analytical methodology based on liquid chromatography-tandem mass spectrometry (LC-MS/MS) for screening and trace level determination of pharmaceuticals in surface and wastewaters. *Talanta* 70: 678–690.

Gros, M., Petrovic, M., Ginebreda, A., Barceló, D. 2010. Removal of pharmaceuticals during wastewater treatment and environmental risk assessment using hazard indexes. *Environ Int* 36: 15–26.

Grześkowiak, T., Czarczyńska-Goślińska, B., Zgoła-Grześ Kowiak, A. (2018) Biodegradation of selected endocrine disrupting compounds (book chapter) pp 1-27, in: Toxicity and Biodegradation Testing (Methods in Pharmacology and Toxicology book series). E. Dino Bidoli and R. Nallin Montagnolli (ed)

Halling-Sørensen, B., Nors Nielsen, S., Lanzky, P.F., Ingerslev, F., Holten Lützhøft, H.C., Jørgensen, S.E., 1998. Occurrence, fate and effects of pharmaceutical substances in the environment – a review. *Chemosphere* 36: 357–393.

Halling-Sørensen, B., 2001. Inhibition of aerobic growth and nitrification of bacteria in sewage sludge by antibacterial agents. *Arch. Environ. Contam. Toxicol.* 40: 451–460.

Heberer, T., 2002a. Occurrence, fate, and removal of pharmaceutical residues in the aquatic environment: a review of recent research data. *Toxicol. Lett.* 131: 5–17.

Heberer, T., 2002b. Tracking persistent pharmaceutical residues from municipal sewage to drinking water. *J. Hydrol.* 266: 175–189.

Hernando, M.D., Mezcua, M., Fernández-Alba, A.R., Barceló, D. 2006a. Evaluación del riesgo medioambiental de residuos farmacéuticos en efluentes de aguas residuales, aguas superficiales y sedimentos *Talanta*, 69: 334-342

Hernando, M.D., Heath, E., Petrovic, M., Barceló, D., 2006b. Trace-level determination of pharmaceutical residues by LC-MS/MS in natural and treated waters. A pilot-survey study. *Anal. Bioanal. Chem.* 385, 985–991.

Hernández, F., Sancho, J.V., Ibáñez, M., Guerrero, C., 2007. Antibiotic residue determination in environmental waters by LC-MS. *TrAC-Trends Anal. Chem.* 26: 466–485.

Hernández, F., Ibáñez, M., Bade, R., Bijlsma, L., Sancho, J.V., 2014. Investigation of pharmaceuticals and illicit drugs in waters by liquid chromatography-high-resolution mass spectrometry. *TrAC Trends Anal. Chem.* 63: 140–157.

Hernández, F., Ibáñez, M., Portolés, T., Cervera, M.I., Sancho, J.V., López, F.J. 2015. Advancing towards universal screening for organic pollutants in waters, *J. Haz. Mat.* , 282: 86-95

Hernández, F., Castiglioni, S., Covaci, A., De Voogt, P., Emke, E., Kasprzyk-Hordern, B., Ort, C., Reid, M., Sancho, J.V., Thomas, K.V., van Nuijs, A.L.N., Zuccato, E., Bijlsma, L., 2018a. Mass Spectrometric strategies for the investigation of biomarkers of illicit drug use in wastewater. *Mass Spectrom. Rev.* 37: 258–280

Hernández, F., Bakker, J., Bijlsma, L., de Boer, J., Botero-Coy, A.M., Bruinen de Bruin, Y., Fischer, S., Hollender, J., Kasprzyk-Hordern, B., Lamoree, M., López, F.J., ter Laak, T.L., van Leerdam, J.A., Sancho, J.V., Schymanski, E., de Voogt, P., Hogendoorn, E.A., 2018b "The role of analytical chemistry in exposure science: identification of New and/or Emerging Risks of Chemicals in the aquatic environment", *Chemosphere.*, submitted

Hernández, F., Calisto-Ulloa, N., Gómez-Fuentes, C., Gómez, M., Ferrer, J., González-Rocha, G., Bello-Toledo, H., Botero-Coy, A.M., Boix, C., Ibáñez, M., Montory, M. 2019. Occurrence of antibiotics and bacterial resistance in wastewater and sea water from the Antarctic, *J. Hazard. Mater.* 363: 447-456.

Hirsch, R., Ternes, T., Haberer, K., Kratz, K.L. 1999. Occurrence of antibiotics in the aquatic environment. *Sci Total Environ.* 225: 109–118.

Hughes, S. R.; Kay, P.; Brown, L. E., 2013. Global synthesis and critical evaluation of pharmaceutical data sets collected from river systems. *Environ. Sci. Tec.* 47: 661-677.

Ibáñez, M., Gracia-Lor, E., Bijlsma, L., Morales, E., Pastor, L., Hernández, F., 2013. Removal of emerging contaminants in sewage water subjected to advanced oxidation with ozone, *J. Haz. Mat.* 260: 389-398

Ibáñez, M., Borova, V., Boix, C., Aalizadeh, R., Bade, R., Thomaidis, N.S., Hernández, F., 2017. UHPLC-QTOF MS screening of pharmaceuticals and their metabolites in treated wastewater samples from Athens. *J. Hazard. Mater.* 323: 26–35.

Jelic, A., Gros, M., Ginebreda, A., Cespedes-Sánchez, R., Ventura, F., Petrovic, M., Barceló, D. (2011). Occurrence, partition and removal of pharmaceuticals in sewage water and sludge during wastewater treatment. *Water Res* 45: 1165–1176.

Joakim Larsson, D.G. 2014. Antibiotics in the environment. *Upsala J. Medical Sci.* 119: 108–112.

Jones, O.A.H., Voulvoulis, N., Lester, J.N., 2005b. Human pharmaceuticals in wastewater treatment processes. *Crit. Rev. Environ. Sci. Technol.* 35: 401–427.

Kanda, R., Griffin, P., James, H.A., Fothergill, J., 2003. Pharmaceutical and personal care products in sewage treatment works. *J. Environ. Monit.* 5: 823–830.

Kasprzyk-Hordern, B., Dinsdale, R.M., Guwy, A.J. (2008). The occurrence of pharmaceuticals, personal care products, endocrine disruptors and illicit drugs in surface water in South Wales, UK. *Water Res* 42: 3498–3518.

Keen, P.L., Montforts, M.H.M.M. (eds), 2012. *Antimicrobial Resistance in the Environment* (book). John Wiley & Sons, Hoboken, NJ.

Kemper, N. 2008. Veterinary antibiotics in the aquatic and terrestrial environment. *Ecol Indic.* 8: 1–13.

Kidd, K.A., Blanchfield, P.J., Mills, K.H., Palace, V.P., Evans, R.E., Lazorchak, M.J., Flick, R.W., 2007. Collapse of a fish population after exposure to a synthetic estrogen. *Proc. Natl. Acad. Sci. USA* 104: 8897–8901.

Kleywegt, S., Pileggi, V., Yang, P., Hao, C., Zhao, X., Rocks, C., Thach, S., Cheung, P., Whitehead, B., 2011. Pharmaceuticals, hormones and bisphenol A in untreated source and finished drinking water in Ontario, Canada - Occurrence and treatment efficiency. *Sci. Total Environ.* 409: 1481–1488.

Kolpin, D.W., Furlong, E.T., Meyer, M.T., Thurman, E.M., Zaugg, S.D., Barber, L.B., Buxton, H.T., 2002. Pharmaceuticals, hormones, and other organic wastewater contaminants in U.S. streams, 1999–2000: a national reconnaissance. *Environ. Sci. Technol.* 36: 1202–1211.

Kumar, A., Xagoraraki, I. (2010). Pharmaceuticals, personal care products and endocrine-disrupting chemicals in U.S. surface and finished drinking waters: A proposed ranking system. *Sci Total Environ* 408: 5972–5989.

Kümmerer, K. (ed), 2008. *Pharmaceuticals in the Environment: Sources, Fate, Effects and Risks* (book), Springer-Verlag, Berlin.

Kümmerer, K., 2009a. Antibiotics in the aquatic environment – a review – part I. *Chemosphere*. 75: 417–434

Kümmerer, K., 2009b. Antibiotics in the aquatic environment – a review – part II. *Chemosphere*. 75: 435–441

Lacey, C., McMahon, G., Bones, J., Barron, L., Morrissey, A., Tobin, J.M. (2008). An LC–MS method for the determination of pharmaceutical compounds in wastewater treatment plant influent and effluent samples. *Talanta* 75: 1089–1097.

Li, W.C., 2014. Occurrence, sources, and fate of pharmaceuticals in aquatic environment and soil. *Environ. Pollut.* 187: 193–201

Li, Z., Yin, S., Zheng, T., Xu, C. 2017, Organic Contaminants in the effluent of Chinese Wastewater Treatment Plant, *Ecotox. Environ. Safety*, in press

Lindholm-Lehto, P.C., Ahkola, H.S.J., Knuutinen, J.S., Herve, S.H., 2016. Widespread occurrence and seasonal variation of pharmaceuticals in surface waters and municipal wastewater treatment plants in central Finland. *Env. Sci Pollut Res* 23, 7985–7997.

- Liu, J.-L., Wong, M.-H., 2013. Pharmaceuticals and personal care products (PPCPs): A review on environmental contamination in China. *Env. int* 59, 208–224.
- Liu, J., Lu, G., Xie, Z., Zhang, Z., Li, S., Yan, Z. (2015). Occurrence, bioaccumulation and risk assessment of lipophilic pharmaceutically active compounds in the downstream rivers of sewage treatment plants. *Sci Total Environ* 511: 54–62.
- Loos, R., Wollgast, J., Huber, T., Hanke, G., 2007. Polar herbicides, pharmaceutical products, perfluorooctanesulfonate (PFOS), perfluorooctanoate (PFOA), and nonylphenol and its carboxylates and ethoxylates in surface and tap waters around Lake Maggiore in Northern Italy. *Anal. Bioanal. Chem.* 387: 1469–1478.
- Matamoros, V., Arias, C.A., Nguyen, L.X., Salvadó, V., Brix, H. (2012). Occurrence and behavior of emerging contaminants in surface water and a restored wetland. *Chemosphere* 88: 1083–1089.
- Makowska, N.; Koczura, R.; Mokracka, J. 2016. Class 1 integrase, sulfonamide and tetracycline resistance genes in wastewater treatment plant and surface water. *Chemosphere* 144: 1665-1673.
- Manaia, C. M.; Macedo, G.; Fatta-Kassinos, D.; Nunes, O. C., 2016. Antibiotic resistance in urban aquatic environments: Can it be controlled? *Appl. Microbiol. Biotechnol.* 100: 1543-1557.
- McElroy, C.R., Constantinou, A., Jones, L.C., Summerton, L., Clark, J.H. (2015) Towards a holistic approach to metrics for the 21st century pharmaceutical industry, *Green Chem.* 17: 3111–3121
- Metcalfe, C.D., Chu, S., Judt, C., Li, H., Oakes, K.D., Servos, M.R., Andrews, D.M., 2010. Antidepressants and their metabolites in municipal wastewater, and downstream exposure in an urban watershed. *Environ. Toxicol. Chem.* 29: 79–89.
- Miao, X.S., Koenig, B.G., Metcalfe, C.D., 2002. Analysis of acidic drugs in the effluents of sewage treatment plants using liquid chromatography-electrospray ionization tandem mass spectrometry. *J. Chromatogr. A* 952: 139–147.
- Moreno-Bondi, M.C., Marazuela, M.D., Herranz, S., Rodriguez, E., 2009. An overview of sample preparation procedures for LC–MS multiclass antibiotic determination in environmental and food samples. *Anal. Bioanal. Chem.* 395: 921–946.
- Oaks, J.L., Gilbert, M., Virani, M.Z., Watson, R.T., Meteyer, C.U., Rideout, B.A., Shivaprasad, H.L., Ahmed, S., Chaudhry, M.J.I., Arshad, M., Mahmood, S., Ali, A., Khan, A.A., 2004. Diclofenac residues as the cause of vulture population decline in Pakistan. *Nature*. 427: 630–633.
- Öllers, S., Singer, H.P., Fässler, P., Müller, S.R., 2001. Simultaneous quantification of neutral and acidic pharmaceuticals and pesticides at the low- $\text{ng/l}$  level in surface and waste water. *J Chromatogr. A* 911, 225–234.
- Peng, X., Yu, Y., Tang, C., Tan, J., Huang, Q., Wang, Z., 2008. Occurrence of steroid estrogens, endocrine-disrupting phenols, and acid pharmaceutical residues in urban riverine water of the Pearl River Delta, South China. *Sci Total Env.* 397, 158–166.

Pessoa, G.P., de Souza, N.C., Vidal, C.B., Alves, J.A., Firmino, P.I.M., Nascimento, R.F., dos Santos, A.B., 2014. Occurrence and removal of estrogens in Brazilian wastewater treatment plants. *Sci. Total Environ.*, 490: 288–295

Petit, F., Denamur, E., Clermont O., Leclercq, R., Deloffre, J., Cattoir, V., Oberlé, K., Budzinski, H., Berthe, T., 2015 Fate of antibiotics and antibiotic-resistant fecal bacteria in water and sediments from the contamination source to the estuary: Impact and/or resilience? Resilience to contamination by antibiotics, in: Mar. Product. Perturbations Resil. Socio-Ecosystems, Springer International Publishing, Cham, pp 79–91,

Petrovic, M., Hernando, M.D., Díaz-Cruz, M.S., Barceló, D., 2005. Liquid chromatography–tandem mass spectrometry for the analysis of pharmaceutical residues in environmental samples: a review. *J. Chromatogr. A* 1067: 1–14.

Putschew, A., Wischnack, S., Jekel, M., 2000. Occurrence of triiodinated X-Ray contrast agents in the aquatic environment. *Sci. Total Environ.* 255: 129–134.

Regulation (EC) No. 1831/2003 of the European Parliament and of the Council of 22 September 2003 on additives for use in animal nutrition.

Richardson, S.D., Ternes, T.A., 2011. Water analysis: emerging contaminants and current issues. *Anal. Chem.* 83: 4614–4648.

Richardson, S.D., 2012. Environmental mass spectrometry: emerging contaminants and current issues. *Anal. Chem.* 84: 747–778.

Richardson, S.D., Ternes, T.A., 2014. Water analysis: emerging contaminants and current issues. *Anal. Chem.* 86, 2813–2848

Richardson, S.D., Kimura S.D., 2017 Emerging environmental contaminants: Challenges facing our next generation and potential engineering solutions. *Environmental Technol & Innovation* 8 40-56

Rivera-Utrilla, J., Sánchez-Polo, M., Ferro-García, M.A., Prados-Joya G., Ocampo-Pérez, R., 2013. Pharmaceuticals as emerging contaminants and their removal from water. A review. *Chemosphere*. 93: 1268–1287.

Rodríguez, I., Quintana, J.B., Carpinteiro, J., Carro, A.M., Lorenzo, R.A., Cela, R., 2003. Determination of acidic drugs in sewage water by gas chromatography-mass spectrometry as tert.-butyldimethylsilyl derivatives. *J. Chromatogr. A* 985: 265–274.

Rodriguez-Narvaez, O.M., Peralta-Hernandez, J.M., Goonetilleke, A., Bandala, E.R., 2017 Treatment technologies for emerging contaminants in water: A review, *Chem. Eng.J.* 323: 361–380

Sang, Z., Jiang, Y., Tsoi, Y.-K., Leung, K.S., 2014. Evaluating the environmental impact of artificial sweeteners: a study of their distributions, photodegradation and toxicities. *Water Res.* 52: 260–274.

Samanidou, V.F., Nikolaidou, K.I., Papadoyannis, I.N., 2007. Advances in chromatographic analysis of tetracyclines in foodstuffs of animal origin – a review. *Sep Purif Rev.* 36:1–69.

- Sarmah, A.K., Meyer, M.T., Boxall, A.B.A., 2006. A global perspective on the use, sales, exposure pathways, occurrence, fate and effects of veterinary antibiotics (VAs) in the environment. *Chemosphere* 65: 725–59
- Servos, M.R., Smith, M., McInnis, R., Burnison, B.K., Lee, B.H., Seto, P., Backus, S., 2007. The presence of selected pharmaceuticals and the antimicrobial triclosan in drinking water in Ontario, Canada. *Water Qual. Res. J. Can.* 42: 130–137.
- Shen, R., Andrews, S.A., 2011. Demonstration of 20 pharmaceuticals and personal care products (PPCPs) as nitrosamine precursors during chloramine disinfection. *Water Res.* 45: 944–952.
- Shrestha, S.L., Casey, F.X., Hakk, H., Smith, D.J., Padmanabhan, G., 2012. Fate and transformation of an estrogen conjugate and its metabolites in agricultural soils. *Environ. Sci. Technol.* 46: 11047–11053
- Silverman, R.B., Hoffman, S.J., 1984. The organic chemistry of mechanism-based enzyme inhibition: a chemical approach to drug design. *Med. Res. Rev.* 4: 415–447.
- Sodré, F., Locatelli, M.A., Jardim, W.F. (2010). Occurrence of emerging contaminants in Brazilian drinking waters: A sewage-to-tap issue. *Water Air Soil Pollut* 206: 57–67.
- Soulet, B., Tauxe, A., Tarradellas, J., 2002. Analysis of acidic drugs in Swiss wastewaters. *Int. J. Environ. Anal. Chem.* 82: 659–667.
- Sui, Q., Huang, J., Deng, S., Yu, G., Fan, Q., 2010. Occurrence and removal of pharmaceuticals, caffeine and DEET in wastewater treatment plants of Beijing, China. *Water Res.* 44: 417–426.
- Ternes, T.A., 1998. Occurrence of drugs in german sewage treatment plants and rivers. *Water Res.* 32: 3245–3260.
- Ternes, T.A., Stumpf, M., Mueller, J., Haberer, K., Wilken, R.D., Servos, M., 1999. Behavior and occurrence of estrogens in municipal sewage treatment plants-I. Investigations in Germany, Canada and Brazil. *Sci. Total Environ.* 225: 81–90.
- Ternes, T.A., Hirsch, R., 2000. Occurrence and behavior of X-ray contrast media in sewage facilities and the aquatic environment. *Environ. Sci. Technol.* 34: 2741–2748.
- Ternes, T., Joss, A., Oehlmann, J. 2015 Occurrence, fate, removal and assessment of emerging contaminants in water in the water cycle (from wastewater to drinking water). *Water Res* 72: 3–27
- Tran, N.H., Urase, T., Ta, T.T., 2014. A preliminary study on the occurrence of pharmaceutically active compounds in hospital wastewater and surface water in Hanoi, Vietnam. *Clean - Soil, Air, Water* 42, 267–275.
- U.S. Environmental Protection Agency (USEPA), 2009. Contaminant Candidate List 3 - CCL-3. Available at <http://www2.epa.gov/ccl/contaminant-candidatelist-3-ccl-3> (last access October 2017)

U.S. Environmental Protection Agency (USEPA), 2012. Unregulated Contaminant Monitoring Rule -3 (UCMR-3). Available at <http://water.epa.gov/lawsregs/rulesregs/sdwa/ucmr/ucmr3/index.cfm>. (last access October 2017)

U.S. Environmental Protection Agency (USEPA), 2016. Contaminant Candidate List 4 - CCL-4. Available at <http://www2.epa.gov/ccl/chemical-contaminantsccl-4>. (last access October 2017)

Vulliet, E., Cren-Olivé, C., Grenier-Loustalot, M.F. (2011). Occurrence of pharmaceuticals and hormones in drinking water treated from surface waters. Environ Chem Lett 9: 103–114.

Wang, J., Leung, D., Chow, W., 2010. Applications of LC/ESI-MS/MS and UHPLC QqTOF MS for the determination of 148 pesticides in berries. J Agri. Food Chem 58, 5904–25.

Wise, A., O'Brien, K., Woodruff, T., 2011. Are oral contraceptives a significant contributor to the estrogenicity of drinking water? Environ. Sci. Technol. 45: 51–60.

Xu, J., Xu, Y., Wang, H., Guo, C., Qiu, H., He, Y., Zhang, Y., Li, X., Meng, W., 2015. Occurrence of antibiotics and antibiotic resistance genes in a sewage treatment plant and its effluent-receiving river. Chemosphere 119: 1379–1385

Xuan, R., Blassengale, A.A., Wang, Q., 2008. Degradation of estrogenic hormones in a silt loam soil. J. Agric. Food Chem. 56: 9152-9158

Yang, G., Fan, M., Zhang, G., 2014. Emerging contaminants in surface waters in China—a short review. Env. Res Lett 9, 74018.

Yuan, S., Jiang, X., Xia, X., Zhang, H., Zheng, S., 2013. Detection, occurrence and fate of 22 psychiatric pharmaceuticals in psychiatric hospital and municipal wastewater treatment plants in Beijing, China. Chemosphere 90: 2520–2525.

Zgheib, S., Moilleron, R., Saad, M., Chebbo, G., 2011. Partition of pollution between dissolved and particulate phases: What about emerging substances in urban stormwater catchments?, Water Res. 45: 913–925,

Zhang, Q.Q., Ying, G.-G., Pan, C.G., Liu, Y.-S., Zhao, J.L., 2015. Comprehensive evaluation of antibiotics emission and fate in the river basins of china: source analysis, multimedia modeling, and linkage to bacterial resistance, Environ. Sci. Technol. 49: 6772–6782

**PROBLEMÁTICA ASOCIADA A LA PRESENCIA DE  
METABOLITOS Y PRODUCTOS DE TRANSFORMACIÓN DE  
FÁRMACOS EN LAS AGUAS DEL ENTORNO MEDITERRÁNEO**

**ANEXO I. PRESENCIA DE METABOLITOS/PRODUCTOS DE  
TRANSFORMACIÓN DE FÁRMACOS EN EL ÁREA  
MEDITERRÁNEA (2008-2018)**

Noviembre 2018

EQUIPO DE TRABAJO

Dr. FÉLIX HERNÁNDEZ HERNÁNDEZ

Dr. IGNACIO MORELL EVANGELISTA

Dra. MARÍA IBÁÑEZ MARTÍNEZ

Instituto Universitario de Plaguicidas y Aguas  
Universitat Jaume I

**Tabla 1.** Resumen de los resultados encontrados para los análisis inflamatorios

Fármaco	Metabolito/Producto de transformación	Zona/Región	País	Tipo de agua	M. positivas/M. analizadas	Frec. de detección (%)	Rango m. positivas	Conc. (ng/L) Media	Referencia
ACETAMINOPHEN	3-OH-ACETAMINOPHEN	Girona/Platja d'Aro Iberian River Basins: Ebro (Sagre River) Ter River (downstream)	Spain	EWW, SW	0/6 0/4	-	nd	-	García-Gálvez 2016 Talanta 158: 330-341
	ACETAMINOPHEN GLUCURONIDE	Seine River	France	SW	0/19	-	nd	-	Briñedes 2017 J Chromatogr. B 1047: 156-172
	IBUPROFEN	Iberian River Basins: Ebro (Sagre River)	Spain	SW	4/4	25.0-58.7	-	-	Huerta 2016 Sci. Total Environ. 540: 243-249
	2-OH-IBUPROFEN	Iberian River Basins: Ebro (Sagre River)	Spain	SW	3/3	45-58.7	Ruthi 2016 Sci. Total Environ. 540: 243-249	-	
	IBUPROFEN GLUCURONIDE	Seine River	France	SW	15/19	<MQL-19.1	10.2	-	Briñedes 2017 J Chromatogr. B 1047: 156-172
	CARBOXY-IBUPROFEN	Seine River	France	SW	0/7	-	-	-	
IBUPROFEN	IbSW2a	Valencian Region	Spain	SW	0/19	-	-	-	
	IbSW2b			EWW	6/38	-	-	-	
	Ib84			SW	2/18	-	-	-	
	Ib1			EWW	3/38	-	-	-	
				SW	0/18	-	-	-	
4-AMINO ANTIPIRINE (4-AA)	Valencian Region	Spain	Spain	EWW	8/10	<LOQ-23	-	-	
	Castellon and Valencia Provinces			SW	0/10	nd	-	-	
	Castellon Province			GW/SW	0/12	nd	-	-	
	Almeria			EWW	3/12	53.0-96.0	-	-	Gracia-Lor 2014 Environ. Sci. Pollut. Res 21:5496-5510
	Barcelona			EWW	15/15	62.5-220.00	-	-	Bueno 2012 Environ. Pollut. 164: 267-273
	Spanish Mediterranean Region			SW	8/9	61-80.6	81 (max)	-	
	Pego-Olivar Marsh Natural Park, Valencia			EWW	9/18	27.0 (max)	27.0 (max)	-	Gracia-Lor 2011 J. Chromatogr. A. 1218: 2264-2275
	Valencian region			SW	19/34	2.7-5	-	-	Andreu 2016 Sci. Total Environ. 540: 278-286
	Castellon and Valencia Provinces			EWW	9/10	32.08	-	-	Boix 2015 Talanta 131: 719-727
	Castellon Province			SW	7/10	9-65.3	-	-	
4-ACETAMIDO ANTIPIRINE (4-AA)	Llobregat Delta	(4-Almeria)	Spain	GW/SW	9/12	2-89.4	-	-	Gracia-Lor 2014 Environ. Sci. Pollut. Res 21:5496-5510
	Almeria			EWW	12/12	49.0-79.0	-	-	
	Barcelona			GW	200	324.9	-	-	
	Llobregat Delta			EWW	57	58.4	-	-	
	El Ejido, Almeria			GW	15/15	3538-28500	-	-	
4-FORMYL AMINO ANTIPIRINE (4-FAA)	Castellon and Valencia provinces	Spain	Spain	IWW	18/18	861-7154	-	-	
	Castellon Province			EWW	18/18	586-3401	-	-	
	El Ejido, Almeria			GW	23/77	12-1362	-	-	
	Valencian region			SW	9/10	3600-29000	12000	Tejón 2010 Sci. Total Environ. 408: 3584-3595	
	Llobregat Delta			EWW	7/10	37-871	-	-	
DIPYDONE/METAMIZOL	Castellon and Valencia provinces	Spain	Spain	GW/SW	8/12	950-5760	-	-	Gracia-Lor 2014 Environ. Sci. Pollut. Res 21:5496-5510
	Castellon Province			EWW	12/12	3028	-	-	
	Valencian region			SW	9-653	9-653	-	-	
	Llobregat Delta			EWW	100	238.2	-	-	
	Almeria			IWW	44	83.6	-	-	
Almeria	Llobregat Delta	Spain	Spain	EWW	18/18	395-22012	-	-	
	Almeria			GW	5/8	479-453	-	-	
	Barcelona			EWW	15/15	110-169	-	-	
	Barcelona			GW	13/77	27-275	-	-	
	Barcelona			EWW	9/9	2657-7050	-	-	

Tabla 1. Resumen de los resultados encontrados para los analgésicos/antinfiamatorios (cont)

CODENAME	CODENAME-5-B-GLUCURONIDE	Seine River	France	SW	19/19	<MLL-16	3.17	Brieudès	2017 J Chromatogr. B 1047: 160-172
DICLOFENAC	NO2-DICLOFENAC	Iberian River basin: Barcelona (Urban area)	Spain	EWW	4/7	3.6-4.9			
	NO2-DICLOFENAC	Iberian River basin: Llobregat (Urban area)	Spain	SW	1/3	2.6			
	NO-DICLOFENAC	Barcelona (Urban area)	Spain	EWW	1/7	1.1-7.8			
	NO-DICLOFENAC	Iberian River basin: Llobregat	Spain	SW	3/3	0.8-15.9			
		Girona / Platja d'Aro	Spain	EWW	5/6	3.9-7015.8			
		Iberian River basin: Ebro (Sagre River)	Spain	SW	2/4	0.4-1.1			
		Ter River (downstream)	Spain	SW	4/4	7.6-55.8			
		Iberian River basin: Ebro (Downstream Gasteiz)	Spain	-		35.8			
		Iberian River basin: Ebro (Downstream Logroño)	Spain	-		cLOQ			
		Iberian River basin: Ebro (Downstream Tudela)	Spain	SW	-	48.2			
TRAMADOL	4-OH-DICLOFENAC	Iberian River basin: Ebro (Downstream Zaragoza)	Spain	-		2.37			
		Iberian River basin: Ebro (Downstream Lleida)	Spain	-		7.76			
		Iberian River basin: Ebro (Principal River)	Spain	4/6	nd				
		Iberian River basin: Ebro [Tributaries]	Spain	SW	4/15	nd-7.76			
	O-DESETHYL-CIS-TRAMADOL	WWTP (Zagreb)	Croatia	IWW	2/2	nd-48.2	López-Serna	2012 Sci. Total Environ. 440:280-289	
		WWTP (Zagreb)	Croatia	EWW	2/2	621-671			
		River water [Save river]	Croatia	SW	2/2	859-890			
		WWTP (Split)	Croatia	IWW	2/2	7.6-10			
		WWTP (Zagreb)	Croatia	IWW	2/2	289-671			
	N-DESETHYL-CIS-TRAMADOL	WWTP (Zagreb)	Croatia	EWW	2/2	208-214			
KETOPROFEN	KETOPROFEN GLUCURONIDE	River water [Save river]	Croatia	SW	2/2	245-249			
		WWTP (Split)	Croatia	IWW	2/2	4.2-5.3			
	NAPROXEN	Seine River	France	SW	0/19	155-189			
NAPROXEN	NAPROXEN GLUCURONIDE	Seine River	France	SW	0/19				
			France	SW	0/19				

Tabla 2. Resumen de los resultados encontrados para los antibióticos

Fármaco	Metabolito/Producto de transformación	Zona/Región	País	Tipo de agua	M. positivas/ M. analizadas (%)	Frec. de detección (%)	Conc. (ng/l)	Rango m. positivas	Media	Referencia
ERYTHROMYCIN	ANHYDROERYTHRAMYCIN	Iberian River basins: Ebro (Downstream Gasteiz)	Spain	SW	-	-	0.96	nd	nd	López-Serna
		Iberian River basins: Ebro (Downstream Logroño)	Spain	SW	-	-	nd	nd	nd	López-Serna
		Iberian River basins: Ebro (Downstream Pamplona)	Spain	SW	-	-	nd	nd	nd	López-Serna
		Iberian River basins: Ebro (Downstream Tudela)	Spain	SW	-	-	nd	nd	nd	López-Serna
CLARITHROMYCIN	N-DESETHYL CLARITHROMYCIN	Iberian River basins: Ebro (Downstream Zaragoza)	Spain	SW	-	-	nd	nd	nd	López-Serna
		Iberian River basins: Ebro (Downstream Lleida)	Spain	SW	-	-	nd	nd	nd	López-Serna
		Castellón and Valencia provinces	Spain	EW/SW	6/12	50%	<100-4	40-150	40-150	Gracia-Lor
		Girona/Pla de l'Aro	Spain	EW/W	0/6	0%	nd	nd	nd	2014 Environ. Sci. Pollut. Res. 21:5496-5510
SULFADIAZINE	N4-ACETYL SULFDIAZINE	Iberian River basins: Ebro (Segre River)	Spain	SW	0/4	0%	nd	nd	nd	García-Gálán
		Ter River (downstream)	Spain	SW	0/4	0%	nd	nd	nd	2016 Talanta 158: 330-341
		Iberian River basins: Ebro (Principal River)	Spain	SW	0/9	0%	nd	nd	nd	2016 Talanta 158: 330-341
		Iberian River basins: Ebro (Tributaries)	Spain	SW	0/15	0%	nd	nd	nd	2016 Talanta 158: 330-341
SULFAMETHAZINE	N4-ACETYL SULFAMETHAZINE	Groundwater bodies (Catalonia)	Spain	SW	32/39	82%	0.02-56.35	0.02-56.35	0.02-56.35	García-Gálán
		Girona/Pla de l'Aro	Spain	EW/W	0/6	0%	nd	nd	nd	2010 J. Hydrol. 383: 93-101
		Ter River (downstream)	Spain	SW	2/4	50%	nd	nd	nd	García-Gálán
		Iberian River basins: Ebro (Principal River)	Spain	SW	0/4	0%	nd	nd	nd	2016 Talanta 158: 330-341
SULFAMETHAZINE	N4-ACETYL SULFAMETHAZINE	Iberian River basins: Ebro (Tributaries)	Spain	SW	0/9	0%	nd	nd	nd	López-Serna
		Iberian River basins: Ebro	Spain	SW	5/14	36%	nd	nd	nd	2012 Sci. Total Environ. 440: 280-289
		Iberian River basins: Ebro (Segre River)	Spain	SW	2/14	14%	0.8-202	0.8-202	0.8-202	García-Gálán
		Ter River (downstream)	Spain	SW	1	100%	0.2	0.2	0.2	2011 Environment International 37: 462-473
SULFAMETHOXAZOLE	N4-ACETYL SULFAMETHOXAZOLE	Iberian River basins: Llobregat	Spain	SW	2	100%	<10-16.8	20-7316.8	20-7316.8	Díaz-Cruz
		Iberian River basins: Aragón	Spain	EW/W	1	100%	<10-0.7	<10-0.7	<10-0.7	2008 J. Chromatogr. A. 1193: 50-59
		Lleida	Spain	EW/W	1	100%	<100	<100	<100	2011 Environment International 37: 462-473
		Groundwater body (Barcelona)	Spain	EW/W	1	100%	2.7	2.7	2.7	García-Gálán
SULFAMETHOXAZOLE	N4-ACETYL SULFAMETHOXAZOLE	Girona/Pla de l'Aro	Spain	EW/W	0/6	0%	nd	nd	nd	García-Gálán
		Iberian River basins: Ebro (Segre River)	Spain	SW	0/4	0%	nd	nd	nd	2016 Talanta 158: 330-341
		Ter River (downstream)	Spain	SW	1/4	25%	<LOQ	<LOQ	<LOQ	García-Gálán
		Castellón and Valencia Provinces	Spain	GW/SW	4/12	33%	<LOQ	<LOQ	<LOQ	2014 Environ. Sci. Pollut. Res. 21:5496-5510
SULFAMETHOXAZOLE	N4-ACETYL SULFAMETHOXAZOLE	Castellón Province	Spain	EW/W	12/12	100%	30-360	30-360	30-360	Gracia-Lor
		Iberian River Basins: Ebro (Downstream Gasteiz)	Spain	SW	-	-	nd	nd	nd	López-Serna
		Iberian River basins: Ebro (Downstream Logroño)	Spain	SW	-	-	nd	nd	nd	López-Serna
		Iberian River basins: Ebro (Downstream Pamplona)	Spain	SW	-	-	nd	nd	nd	López-Serna
SULFAMETHOXAZOLE	N4-ACETYL SULFAMETHOXAZOLE	Iberian River basins: Ebro (Downstream Tudela)	Spain	SW	-	-	nd	nd	nd	López-Serna
		Iberian River basins: Ebro (Downstream Zaragoza)	Spain	SW	-	-	nd	nd	nd	López-Serna
		Iberian River basins: Ebro (Downstream Lleida)	Spain	SW	-	-	nd	nd	nd	López-Serna
		Iberian River basins: Ebro (Principal River)	Spain	SW	0/9	0%	nd	nd	nd	López-Serna
SULFAMETHOXAZOLE	N4-ACETYL SULFAMETHOXAZOLE	Girona/Pla de l'Aro	Spain	EW/W	2/15	13%	<73.8	<73.8	<73.8	2012 Sci. Total Environ. 440: 280-289
		Iberian River basins: Ebro (Segre River)	Spain	SW	0/4	0%	nd	nd	nd	García-Gálán
		Ter River (downstream)	Spain	SW	0/4	0%	nd	nd	nd	2016 Talanta 158: 330-341
		Barcelona (Urban area)	Spain	EW/W	17	100%	9.65	9.65	9.65	Osporio
SULFAMETHOXAZOLE	N4-ACETYL SULFAMETHOXAZOLE	Iberian River basins: Llobregat	Spain	SW	0/3	0%	nd	nd	nd	2016 J. Hazard. Mater. 309:157-164
		Girona/Pla de l'Aro	Spain	EW/W	0/6	0%	nd	nd	nd	García-Gálán
		Iberian River basins: Ebro (Segre River)	Spain	SW	0/4	0%	nd	nd	nd	2016 Talanta 158: 330-341
		Barcelona (Urban area)	Spain	EW/W	1/7	14%	11.4	11.4	11.4	Osporio
SULFAPRIMINE	N4-ACETYL SULFAPRIMINE	Iberian River basins: Llobregat	Spain	SW	2/3	67%	8-17.7	8-17.7	8-17.7	2016 J. Hazard. Mater. 309:157-164
		Girona/Pla de l'Aro	Spain	EW/W	0/6	0%	nd	nd	nd	García-Gálán
		Iberian River basins: Ebro (Segre River)	Spain	SW	0/4	0%	nd	nd	nd	2016 Talanta 158: 330-341
		Ter River (downstream)	Spain	SW	10/14	71%	6.8-19.7	6.8-19.7	6.8-19.7	García-Gálán
SULFAPRIMINE	N4-ACETYL SULFAPRIMINE	Iberian River basins: Ebro (Segre River)	Spain	SW	2/14	14%	1.1-37	1.1-37	1.1-37	2011 Environment International 37: 462-473
SULFATHIAZOLE	SUCONYL-SULFATHIAZOLE	Iberian River basins: Ebro	Spain	SW	-	-	-	-	-	García-Gálán

**Tabla 3. Resumen de los resultados encontrados para bloqueantes de los canales de calcio**

Fármaco	Metabolito/Producto de transformación	Zona/Región	País	Tipo de agua	M. positivas/M. analizadas (%)	Frec. de detección (%)	Conc. (ng/l)	Referencia
VERAPAMIL	Iberian River basins: Ebro (Sagre River)	Spain	SW	0/4		nd		Huerta 2016 Sci. Total Environ. 540: 241-249
	Iberian River basins: Ebro (Sagre River)	Spain	SW	0/3		>LOD		Ruhi 2016 Sci. Total Environ. 540: 250-259
	Girona/ Platja d'Aro		EWW	6/6		1.1-19.1		
	Iberian River basins: Ebro (Sagre River)	Spain	SW	0/4		nd		García-Galán 2016 Talanta 158: 330-341
	Ter River (downstream)			3/4		2.9-16.2		

Tabla 4. Resumen de los resultados encontrados para anestésicos

Fármaco	Metabólito/Producto de transformación	Zona/Región	País	Tipo de agua	M. positivas/M. analizadas	Frec. de detección (%)	Concentración (ng/L)	Referencia
					m	Rango m positivas	Media	
FENTANYL	NORFENTANYL	Santorini Island	Greece	EWW (5 WWTP)	4/5	0.4-2.6	Borova	2014 Anal. Bioanal. Chem. 406: 4273-4285
		WWTP (Zagreb)		IWW	0/2	<MQL		
		WWTP (Zagreb)	Croatia	EWW	0/2	<MQL	Krizman-Matarasic	2018 J. Chromatogr. A 1533: 102-111
KETAMINE	NORKETAMINE	River water (Sava river)		SW	0/2	<MQL		
		WWTP (Split)		IWW	0/2	<MQL		
		Santorini Island	Greece	EWW (5 WWTP)	2/5	8.8-11.9	Borova	2014 Anal. Bioanal. Chem. 406: 4273-4285

Tabla 5. Resumen de los resultados encontrados para reguladores de lípidos

Fármaco	Metabolito/Producto de transformación	Zona/Región	País	Tipo de agua	M. positivas/M. analizadas	Frec. de detección (%)	Concentración [ng/L]	Referencia
					Rango	Positivas m.	Media	
ATORVASTATIN	ZOH ATORVASTATIN	Iberian River basins: Ebro (Principal river)	Spain	SW	0/9	nd		López-Serna 2012 Sci. Total Environ. 440:280-289
		Iberian River basins: Ebro (Tributaries)	Spain	SW	0/15	nd		
		Pego-Oliva Marsh Natural Park, Valencia Region	Spain	SW	2/14	15-23		Andreu 2016 Sci. Total Environ. 540: 278-286
		Valencia	Spain	EW/W	21	nd		
		Iberian River basins: Turia	Spain	SW	25	nd		Andrés-Costa 2016 Methods 5: 3-307-314
		Albufera Natural Park and surrounding Valencia Region	Spain	SW	6/21	25.3-280.9		
		Athens	Greece	EW/W	1/8	6.38		Pascual-Aguilar 2015 Sci. Total Environ. 503:504-510-519
		Iberian River basins: Guadianar	Spain	SW	0/6			Dosemaki 2015 Anal. Bioanal. Chem. 407:229-245
		Iberian River basins: Turia	Spain	SW	21/22			Garrido 2016 Environ. Sci. Pollut. Res. 23: 25127-25144
			Spain	MW	11/11	17		
			TW	5/8	21			
			EW/W	0/21	19			Carmona 2014 Sci. Total Environ. 484:55-63
		Lecamina City			nd			
		Lecamina Hospital			nd			
		Alta			nd			
		Preveza			nd			
		Aegithion			nd			
		Grevena			nd			
		Kozani			nd			
		Veria			nd			
		Castellon and Valencia Provinces	Spain	GW/SW	0/12			Kosma 2014 Sci. Total Environ. 466:467-471-438
		Castellon Province	Spain	EW/W	0/12			
		Northern Adriatic Sea	Italian Peninsula and Adriatic coast	SEAW	4/4	<LOQ-0.186		
		Iberian River basins: Ebro (Principia River)	Spain	SW	1/9	nd-<LOQ		
		Iberian River basins: Ebro (Tributaries)	Spain	SW	9/15	nd-14.4		López-Serna 2012 Sci. Total Environ. 440:280-289
		Almeria	Spain	EW/W	13/15	10-786		
		Barcelona	Spain	SW	9/9	24-374		Bueno 2012 Environ. Pollut. 164: 267-273
		Iberian River basins: Llobregat (Upstream)	Spain	SW	6/6	12.8 (max)		
		Iberian River basins: Llobregat (Covostream)	Spain	EW/W	6/6	78.2 (max)	8.4	López-Serna 2012 Environ. Sci. Pollut. Res. 19: 1000-1012
		Iberian River basins: Llobregat (WWTP)	Spain	EW/W	1	28.9 (max)	22.4	
		Southern Cyprus (WWTP I)	Cyprus	EW/W	1	-		
		Southern Cyprus (WWTP II)	Cyprus	EW/W	1	-		
		Iberian River basins: Llobregat (Upstream)	Spain	EW/W	1	-		
		Iberian River basins: Llobregat (Downstream)	Spain	SW	3/3	-		
		Iberian River basins: Llobregat (WWTP)	Spain	EW/W	3/3	-		
		Iberian River basins: Ebro	Spain	EW/W	-/15	0.4-18	3	
			IMW	-/3	3/31	10		Fatta-Kasinos 2011 Water Resour. Manag. 25: 1183-1193
			EW/W	-/1	-			
			SW	3/3	-			
			EW/W	3/3	-			
			SW	-/15	-			
			EW/W	-/3	0.4-18	3		
			IMW	-/3	<LOD-30	16		
			EW/W	4/12	8-182			Gros 2009 Anal. Chem. 81: 898-912
		Castellon and Valencia Provinces	Spain	EW/W	12/12	10-350		
		Almeria	Spain	EW/W	13/15	10-55000		Gracia-Lor 2014 Environ. Sci. Pollut. Res. 21:5496-5510
		Barcelona	Spain	EW/W	5/5	8-36100		Bueno 2012 Environ. Pollut. 164: 267-273
		Eslida-Almería	Spain	EW/W	-	<LOD/>200000	17000	Muñoz 2009 Trends Anal. Chem. 29(7): 575-594
		GEMFIBROZIL	GSWB1	Valencian Region	EW/W	27/38		
			Spain	SW	6/18			Boix 2016 J. Haz Mat. 302: 175-187

Tabla 6. Resumen de los resultados encontrados para antipsicóticos, antiepilépticos y antidepressivos

Fármaco	Metabolito/Producto de transformación	Zona/Región	País	Tipo de agua	N. positivas/ N. analizadas (%)	Frec. de detección (%)	Concentración (ng/l)	Referencia
					m. positivas	Rango	Media	
ALPRAZOLAM	a-OH-ALPRAZOLAM	Northwest of Spain Seine River	Spain France	EWW SW	0/2 0/4	nd	nd	Racamonde 2014 J. Chromatogr. A 1352: 59-79
BROMAZEPAM	3-HYDROXYBROMAZEPAM	Girona/Baixa d'Aro Iberian River basins: Ebro (Segre River) Ter River (downstream)	Spain	EWW SW	11/19 3/6	153-33 32.7-87.4	2.38	Briñedes 2017 J. Chromatogr. A 1347: 160-172
		Castellon and Valencia Provinces Castellon Province	Spain	SW	0/4	nd	nd	García-Gálán 2016 Talanta 158: 330-341
		Iberian River basins: Ebro (Principal River)	Spain	EWW/SW	3/2 0/2	<LOQ	nd	Gracia-Lor 2014 Environ. Sci. Pollut. Res 21:246-5510
		Iberian River basins: Ebro (Tributaries)	Spain	EWW SW	6/9 11/15	nd-101 nd-80.5	nd	López-Serna 2012 Sci. Total Environ. 440:280-289
		Llobregat Delta	Spain	EWW GW	77 35	10.6 19.24	nd	Cabeza 2012 J. Hazard. Mater. 239-240: 32-39
		Almeria Barcelona	Spain	EWW SW	12/15 8/9	18-939 28-88	nd	Bueno 2012 Environ. Pollut. 164: 267-273
		Iberian River basins: Ebro (Downstream Gasteiz)		-			1670	
		Iberian River basins: Ebro (Downstream Logroño)		-			181	
		Iberian River basins: Ebro (Downstream Pamplona)	Spain	SW	-		673	
		Iberian River basins: Ebro (Downstream Tudela)	Spain	SW	-		114	López-Serna 2012b J. Chromatogr. A 1252: 115-129
		Iberian River basins: Ebro (Downstream Zaragoza)	Spain	SW	-		81.6	
		Iberian River basins: Ebro (Downstream Lérida)	Spain	EWW	-		126	
		Iberian River basins: Llobregat (Groundwater surroundings)	Spain	EWW GW	12/12 5/12	71 (max) 33 (max)	54	Huerta-Fonolla 2011 Water Research 45:1432-1442
		Iberian River basins: Llobregat (Groundwater)	Spain	SW	0/4	nd	nd	López-Serna 2016 Sci. Total Environ. 540: 241-249
		Girona/Partia d'Urbia	Spain	EWW SW	6/6 0/4	13.3-64.2 nd	nd	Huerta 2016 Talanta 158: 330-341
		Iberian River basins: Ebro (Segre River) Ter River (downstream)	Spain	SW	3/4	56.8-43.9	nd	García-Gálán 2016 Talanta 158: 330-341
		Iberian River basins: Ebro (Principal River)	Spain	SW	8/9	nd-234	nd	
		Iberian River basins: Ebro (Tributaries)	Spain	SW	12/15	nd-167	nd	López-Serna 2012 Sci. Total Environ. 440: 280-289
		Iberian River basins: Ebro (Downstream Lorca)	Spain	SW	-		61.7	
		Iberian River basins: Ebro (Downstream Tudela)	Spain	SW	-		<LOQ	
		Iberian River basins: Ebro (Downstream Zaragoza)	Spain	SW	-		22.8	
		Iberian River basins: Ebro (Downstream Lérida)	Spain	SW	-		2.56	López-Serna 2012b J. Chromatogr. A 1252: 115-129
		Iberian River basins: Ebro (Downstream Gasteiz)	Spain	SW	-		3.53	
		Iberian River basins: Ebro (Downstream Lorrotó)	Spain	SW	-		3.73	
		Iberian River basins: Ebro (Downstream Pamplona)	Spain	SW	-		70	
		Iberian River basins: Ebro (Downstream Zaragoza)	Spain	SW	-		2.99	
		Iberian River basins: Ebro (Downstream Tudela)	Spain	SW	-		25.3	López-Serna 2012b J. Chromatogr. A 1252: 115-129
		Iberian River basins: Ebro (Principal River)	Spain	SW	8/9	nd-4.57	nd	
		Iberian River basins: Ebro (Tributaries)	Spain	SW	11/15	nd-70	nd	López-Serna 2012 Sci. Total Environ. 440:280-289
		Castellon and Valencia Provinces Castellon Province	Spain	EWW/SW	11/12	4.374	nd	Gracia-Lor 2014 Environ. Sci. Pollut. Res 21:549-5510
		Seine River	France	SW	nd	nd	nd	
		Santorini Island	Greece	EWW/5 WWT/P	29/9	5.65-55.7	31.5	Briñedes 2017 J. Chromatogr. B 1037: 160-172
		Northwest of Spain	Spain	EWW	0/3	0.4-9.7	nd	Borova 2014 Anal. Bioanal. Chem. 406: 4273-4285
		Iberian River basins: Ebro (Downstream Gasteiz)	Spain	River	0/3	nd	nd	
		Iberian River basins: Ebro (Downstream Logroño)	Spain	SW	-		70.8	
		Betis River basins: Ebro (Downstream Pamplona)	Spain	SW	-		39.4	
		Betis River basins: Ebro (Downstream Tudela)	Spain	SW	-		<LOQ	
		Iberian River basins: Ebro (Downstream Zaragoza)	Spain	SW	-	nd	nd	López-Serna 2012b J. Chromatogr. A 1252: 115-129
		Iberian River basins: Ebro (Downstream Lérida)	Spain	SW	-	<LOQ	<LOQ	
		Iberian River basins: Ebro (Principal River)	Spain	SW	1/9	1.36	nd	
		Iberian River basins: Ebro (Tributaries)	Spain	EWW	1/15	3.99	nd	López-Serna 2012 Sci. Total Environ. 440:280-289

Tabla 6. Resumen de los resultados encontrados para antipsicóticos, antiepilépticos y antidepresivos (cont.)

<b>DIAZEPAM</b>	Girona/Patja d' Aro	Iberian River basins: Ebro (Segre River) Ter River (downstream) Santorini Island	Spain	EW/W	6/6	4.1-18.7	García-Gálán 2016 Talanta 158: 330-341 Borova 2014 Anal. Biomol. Chem. 406: 423-428 Racamonde 2014 J. Chromatogr. A 1352: 69-79 Arbelaez 2015 Int. J. Environ. Anal. Chem. 95: 8 669-684 Munaron 2012 Estuar. Coast. Shelf. Sci. 114:82-92 Osorio 2016 Sci. Total Environ. 540: 267-277
	Northwest of Spain	Iberian River basins: Ebro Iberian River basins: Llobregat Ter River	Spain	EW/W	5/5	24.5-30.5	
	Tarragona		Spain	SW	0/4	nd	
	Reus		Spain	SW	3	1.0-1.1	
	French coast		France	EW/W	3	<LOQ	
	Northwest of Spain		France	SEAW	0/4	<LOQ	
	Iberian River basins: Llobregat		Spain	EW/W	1/2	23-	
	Iberian River basins: Ebro		Spain	EW/W	3/3	<LOQ	
	Iberian River basins: Tucar		Spain	River	15	0.8-3.26	
	Iberian River basins: Guadalquivir		Spain	EW/W	3	nd	
<b>FLUOXETINE</b>	Girona/Patja d' Aro	Iberian River basins: Ebro (Segre River)	Spain	EW/W	2/6	nd	García-Gálán 2016 Talanta 158: 330-341 Borova 2014 Anal. Biomol. Chem. 406: 423-428 Racamonde 2014 J. Chromatogr. A 1352: 69-79 Arbelaez 2015 Int. J. Environ. Anal. Chem. 95: 8 669-684 Munaron 2012 Estuar. Coast. Shelf. Sci. 114:82-92 Osorio 2016 Sci. Total Environ. 540: 267-277
	Northwest of Spain	Ter River (downstream)	Spain	EW/W	1/2	nd	
	FLUOREXETINE	Northwest of Spain	Spain	EW/W	3/3	<LOQ	
	FLUNITRAZEPAM	Santorini Island	Spain	EW/W	15	nd	
	FLUNITRAZEPAM	Northwest of Spain	Spain	EW/W	15	nd	
	MIRTAZAPINE	Santorini Island	Spain	EW/W	24	0.8-0.84	
	MIRTAZAPINE	Iberian River basins: Ebro (Segre River)	Spain	EW/W	6/6	nd-88.6	
	FLURAZEPAM	Ter River (downstream)	Spain	SW	4	-	
	FLURAZEPAM	Northwest of Spain	Spain	EW/W	0/2	nd	
	FLUNITRAZEPAM	Santorini Island	Spain	EW/W	0/4	nd	
<b>OXAZEPAM</b>	8-OH-MIRTAZAPINE	Northwest of Spain	Spain	EW/W	0/5	8.5-10.3	García-Gálán 2016 Talanta 158: 330-341 Borova 2014 Anal. Biomol. Chem. 406: 423-428 Racamonde 2014 J. Chromatogr. A 1352: 69-79 Arbelaez 2015 Int. J. Environ. Anal. Chem. 95: 8 669-684 Munaron 2012 Estuar. Coast. Shelf. Sci. 114:82-92 Osorio 2016 Sci. Total Environ. 540: 267-277
	OXAZEPAM	Santorini Island	Greece	EW/W (5 WWTP)	1	1.9-9.5	
	OXAZEPAM	Iberian River basins: Ebro (Downstream Gasset)	Spain	SW	1	nd	
	OXAZEPAM	Iberian River basins: Ebro (Downstream Lorrión)	Spain	SW	1	nd	
	OXAZEPAM	Iberian River basins: Ebro (Downstream Pamplona)	Spain	SW	1	<LOQ	
	OXAZEPAM	Iberian River basins: Ebro (Downstream Tudela)	Spain	SW	1	<LOQ	
	OXAZEPAM	Iberian River basins: Ebro (Downstream Zaragoza)	Spain	SW	1	<LOQ	
	OXAZEPAM	Iberian River basins: Ebro (Downstream Leida)	Spain	SW	1	63.5	
	OXAZEPAM	Iberian River basins: Ebro (Ribera del Ebro)	Spain	SW	7/9	nd-48.8	
	OXAZEPAM	Seine River	France	EW/W	13/15	nd-70.9	
<b>SERTRALINE</b>	9-OH-SERTRALINE	Northwest of Spain	Spain	EW/W	1/19	<LOQ	López-Serna 2012 Sci. Total Environ. 440: 280-289 Briñoles 2017 J. Chromatogr. B 1047: 160-172 Racamonde 2014 J. Chromatogr. A 1352: 69-79 Huerta-Fontela 2011 Water Research 45: 1432-1442 Huerta-Fontela
	SERTRALINE	Iberian River basins: Llobregat (groundwater surroundings)	Spain	EW/W	2/12	23.99	
	TRIAZOLAM	Northwest of Spain	Spain	EW/W	0/12	nd	
	TRIAZOLAM	Northwest of Spain	Spain	EW/W	0/2	nd	
	TRIAZOLAM	Iberian River basins: Llobregat (groundwater surroundings)	Spain	EW/W	0/4	nd	
	DESIMETHYLVENLAFAXINE	Iberian River basins: Llobregat (groundwater surroundings)	Spain	EW/W	5/12	22 (max)	
	DESIMETHYLVENLAFAXINE	Seine River	France	EW/W	2/12	2 (max)	
	DESIMETHYLVENLAFAXINE	Seine River	France	SW	19/19	1.5	
	DESIMETHYLVENLAFAXINE	Valencian Region	Spain	EW/W	35/38	<LOQ	
	VENLAFAXINE	V1	Spain	EW/W	3/18	18.9	
<b>CITALOPRAM</b>	V2	V2	Spain	EW/W	22/38	nd	Briñoles 2017 J. Chromatogr. B 1047: 160-172 Boix 2016 J. Haz Mat 302: 175-187
	CITALOPRAM	Seine River	France	EW/W	1/18	nd	
	CITALOPRAM	Seine River	France	SW	33/38	nd	
<b>VENLAFAXINE</b>	DESIMETHYLVENLAFAXINE	Seine River	France	SW	2/18	nd	Briñoles 2017 J. Chromatogr. B 1047: 160-172 Boix 2016 J. Haz Mat 302: 175-187
	DESIMETHYLVENLAFAXINE	V1	Spain	EW/W	3/18	nd	
	DESIMETHYLVENLAFAXINE	V2	Spain	EW/W	22/38	nd	
<b>CITALOPRAM</b>	CITALOPRAM	Seine River	France	SW	19/19	0.625-36	Briñoles 2017 J. Chromatogr. B 1047: 160-172
	CITALOPRAM	Seine River	France	SW	3/23	nd	
	CITALOPRAM	Seine River	France	SW	nd	nd	

**Tabla 6.** Resumen de los resultados encontrados para antipsicóticos, antiepilépticos y antidepresivos (cont.)

Zopiclone									
ZOPICLONE Y sus precursores, análogos y metabolitos									
ZOPICLONE Y sus precursores, análogos y metabolitos									
ZOPICLONE	ZOPICLONEAN-OKIDE	Seine River	France	SW	0/19	-	-	Brieudes	2017 J Chromatogr B 1647: 161-172
ZOLPIDEM	ACID 1-ZOLPIDEN-4-PHENYL-CARBOXYLIC	Seine River	France	SW	19/19	4HQL-8.5	3.75	-	Brieudes
	ACID 2-ZOLPIDEN-6-CARBOXYLIC	Seine River	France	SW	10/19	4HQL-1.01	0.63	-	Brieudes
									2017 J Chromatogr B 1647: 161-172
									2017 J Chromatogr B 1647: 161-172

Tabla 7. Resumen de los resultados encontrados para β-bloqueantes

Fármaco	Metabolito/Producto de transformación	Zona/Región	País	Tipo de agua	N. positivas/N. analizadas	Frec. de detección (%)	Concentrados (ng/L)	Rango nm. positivos.	Média	Referencia
METOPROLOL	O-DES-METOPROOL	Girona/Plaça d'Aro	Spain	EWW	2/5		<LOQ			
	METOPROLOL ACID	Iberian River basin: Ebro (Sagre River)	Spain	SW	0/4		nd			García-Salán 2016 Talanta 158: 390-341
		Girona/Plaça d'Aro	Spain	EWW	5/5		1077.9-2007.5			García-Salán 2016 Talanta 158: 390-341
	ALFA-OH-METOPROOL	Iberian River basin: Ebro (Sagre River)	Spain	SW	0/4		nd			
	PROPANOOL	Girona/Plaça d'Aro	Spain	EWW	3/5		<LOQ-25.1			García-Salán 2015 Talanta 158: 390-341
PROANOLOL-BETA-O-GLUCURONIDE	Iberian River basin: Ebro (Sagre River)	Spain	SW	0/4			nd			
	Iberian River basin: Ebro (Tributaries)	Spain	SW	0/9			nd			López-Serna 2012 Sci. Total Environ. 440:280-289
					0/15		nd			

Tabla 8. Resumen de los resultados encontrados para inhibidores de la bomba de protones

Fármaco	Metabolito/Producto de transformación	Zona/Región	País	Tipo de agua	M. positivas/ M. analizadas	Frec. de detección (%)	Concentración (ng/L)	Referencia
					m. positivas	Rango	Media	
	<b>4-OH-OMEPPAZOLE</b>	Athens	Greece	EWW	8/8		45-83.9	Dasenaki
OTP1				IWW	0/15			2015 Anal. Bioanal. Chem. 407:4229-4245
				EWW	0/10			
				SW	3/27			
				IWW	0/15			
				EWW	1/10			
OTP4		Valencian Region	Spain	SW	2/27			Box
				IWW	0/15			2013 J. Mass Spectrom. 48: 1091-1100
				EWW	9/10			
				SW	7/27			
OTP5				IWW	1/15			
				EWW	5/10			
				SW	3/27			
OTP13				IWW	1/15			
				SW	3/27			
OM3				IWW	1/15			
				EWW	0/10			
				SW	0/27			
OM4				IWW	3/15			
				EWW	6/10			
				SW	5/27			
OM5				IWW	9/15			
				EWW	10/10			
				SW	9/27			
OM7c				IWW	9/15			
				EWW	20/10			
				SW	8/27			
OM7d				IWW	7/15			
				EWW	10/10			
				SW	7/27			
OM7e		Valencian Region	Spain	IWW	2/15			Box
				EWW	9/10			2014 Science Total Environ. 458-469: 706-714
				SW	4/27			
OM8a				IWW	2/15			
				EWW	4/15			
				SW	0/27			
OM8b				IWW	5/15			
				EWW	7/10			
				SW	4/27			
OM8c				IWW	0/15			
				EWW	3/10			
				SW	3/27			
OM10				IWW	15/15			
				EWW	10/10			
				SW	13/27			
OM11a				IWW	12/15			
				EWW	9/10			
				SW	8/27			

Tabla 8. Resumen de los resultados encontrados para inhibidores de la bomba de protones (cont)

OMEPRAZOLE	OM13	Valencian Region Spain	IWW	3/15	Beix 2014 Science Total Environ. 468-469: 706-714
	OM14a		EWW	8/10	
			SW	10/27	
			IWW	15/15	
			EWW	10/10	
			SW	10/27	
			IWW	15/15	
			EWW	10/10	
			SW	11/27	
			-	-	
RANITIDINE	OM14b=4-OH OMEPRAZOLE SULPHIDE	Iberian River basins: Ebro Iberian River basins: Ebro	SW	78.4	López-Serna 2012b J. Chromatogr. A 1252: 115-129
	RANITIDINE N-OXIDE		SW	32.3	
			SW	21.5	
			-	nd	
			-	nd	
			3/9	nd-39.5	
			10/15	nd-19.6	
			-	-	
			-	-	
			-	-	
					López-Serna 2012 Sci. Total Environ. 440:280-289

Tabla 9. Resumen de los resultados encontrados para antihipertensivos

Tabla 10. Resumen de los resultados encontrados para "otros" fármacos

Tabla 10. Resumen de los resultados encontrados para "otros" fármacos

<b>CODEINE</b>	<b>Narcocaine</b>	WWTP (Zagreb) WWTP (Zagreb) River water (Sava river) WWTP (Split)	Croatia	IWW EWW SW	0/2 0/2 1/2	<MQL <MQL <MQL-1.6	Krizman-Matasic	2018 J. Chromatogr. A 1533: 102-111
	<b>Saint River</b>	WWTP (Zagreb) WWTP (Zagreb) River water (Sava river)	France	IWW EWW SW	14/19 0/2 0/2	<MQL-3.18 <MQL <MQL	Brieudès	2017 J. Chromatogr. B 1047: 160-172
	<b>Dihydrocodeine</b>	WWTP (Zagreb) WWTP (Split)	Croatia	IWW SW	0/2 0/2	<MQL <MQL	Krizman-Matasic	2018 J. Chromatogr. A 1533: 102-111
	<b>OXYCODONE</b>	WWTP (Zagreb) River water (Sava river)	Croatia	IWW EWW SW	0/2 0/2 0/2	<MQL <MQL <MQL	Krizman-Matasic	2018 J. Chromatogr. A 1533: 102-111
	<b>Hydrocodone</b>	WWTP (Zagreb) WWTP (Split)	Croatia	IWW EWW SW	0/2 0/2 0/2	<MQL <MQL <MQL	Krizman-Matasic	2018 J. Chromatogr. A 1533: 102-111
<b>HYDROCODONE</b>	<b>Norhydrocodone</b>	WWTP (Zagreb) WWTP (Zagreb)	Croatia	IWW EWW SW	0/2 0/2 0/2	<MQL-2.0 <MQL <MQL	Krizman-Matasic	2018 J. Chromatogr. A 1533: 102-111
<b>BUPRENORPHINE</b>	<b>Norbutrenorphine</b>	River water (Sava river) WWTP (Split) WWTP (Zagreb) WWTP (Zagreb)	Croatia	IWW EWW SW	0/2 0/2 0/2	<MQL <MQL-2.8 <MQL	Krizman-Matasic	2018 J. Chromatogr. A 1533: 102-111
	<b>BUPRENORPHINE-3-B-GLUCURONIDE</b>	Saint River	France	SW	0/19	-	Brieudès	2017 J. Chromatogr. B 1047: 160-172

Tabla 11. Resumen de los resultados encontrados para hormonas

Fármaco	Metabolito/Producto de transformación	Zona/Región	País	Tipo de agua	M. positivas/ M. analizadas	Frec. de detección (%)	Concentración (ng/L)	Referencia
ESTRADIOL-17-ACETATE	17B-ESTRADIOL-17-ACETATE	Tarragona (WWTP1)	Spain	IWW	nm	-	-	Pedrouzo 2011 Water Air Soil Pollut. 217: 267-281
		Tarragona (WWTP2)		EWW	4/6	<LOQ-176	-	
				EWW	nm	-	-	
	ESTRADIOL-17-GLUCURONIDE	Tarragona (WWTP1)	Spain	IWW	3/7	<LOQ-135	-	
		Tarragona (WWTP2)		EWW	6/6	<LOQ-515	-	
	ESTRADIOL-3-SULFATE	Iberian River basins: Llobregat (Upstream)	Spain	IWW	0/6	nd	<LOQ-225	Pedrouzo 2011 Water Air Soil Pollut. 217: 267-281
		Iberian River basins: Llobregat (Downstream)		EWW	3/7	<LOQ	-	
ESTRIOL	ESTRIOL-3-SULFATE	Iberian River basins: Llobregat (WWTP)	Spain	SW	0/6	nd	nd	López-Serna 2012 Environ. Sci. Pollut. Res 19: 1000-1012
		Iberian River basins: Llobregat (Upstream)		EWW	0/6	nd	nd	
	ESTRIOL-16-GLUCURONIDE	Iberian River basins: Llobregat (Downstream)	Spain	SW	0/6	nd	nd	López-Serna 2012 Environ. Sci. Pollut. Res 19: 1000-1012
		Iberian River basins: Llobregat (WWTP)		EWW	0/6	nd	nd	
ESTRONE	ESTRONE-3-SULFATE	Iberian River basins: Llobregat (Upstream)	Spain	SW	0/6	nd	nd	López-Serna 2012 Environ. Sci. Pollut. Res 19: 1000-1012
		Tarragona (WWTP1)		EWW	5/6	<LOQ-320	-	
		Tarragona (WWTP2)		EWW	5/6	<LOQ-235	-	
	ESTRONE-3-GLUCURONIDE	Iberian River basins: Llobregat (Upstream)	Spain	EW	6/7	<LOQ-640	nd	Pedrouzo 2011 Water Air Soil Pollut. 217: 267-281
		Iberian River basins: Llobregat (Downstream)		EWW	7/7	<LOQ-52	nd	

**PROBLEMÁTICA ASOCIADA A LA PRESENCIA DE  
METABOLITOS Y PRODUCTOS DE TRANSFORMACIÓN DE  
FÁRMACOS EN LAS AGUAS DEL ENTORNO MEDITERRÁNEO**

**ANEXO II. ESTUDIOS SELECCIONADOS DE DEGRADACIÓN DE  
FÁRMACOS (2013-2018)**

Noviembre 2018

**EQUIPO DE TRABAJO**

Dr. FÉLIX HERNÁNDEZ HERNÁNDEZ

Dr. IGNACIO MORELL EVANGELISTA

Dra. MARÍA IBÁÑEZ MARTÍNEZ

Instituto Universitario de Plaguicidas y Aguas  
Universitat Jaume I

Fármaco	Tipo de descomposición	Instrumentación	M. Manti.	Producción de descompon.	Observaciones	Referencia
ACETAMINOFEN	OZONACIÓN	LC-QTOF MS	PURE WATER	3	TOXICITY ASSESSMENT KINETICS DEGRADATION MECHANISMS QUANTITATIVE ANALYSIS IN THE AQUATIC ENVIRONMENT (WWW.GWV)	Arias 2017 / HAZ MAT 338: 361-393
HYDROXYSS: BH=5 pH=7 DH=7 [Ca=2, Me=2]		LC-UV LC-MS [MS2, MS3] NMR		9	DETECTION OF SOME OPs	Gordon 2013 CHemosphere 91: 985-992
AMOKILLIN						
ANTIPRINE	CHLORINATION FREE CHLORINE	LC-MS/MS [C]-QTOF MS	ULTRA PURE WATER	1.71 BY LC AND 7 BY GC	EFFECT OF Cl-, pH TOXICITY ASSESSMENT	Cai 2013 WATER RES 47: 2830-2842
ATENOLOL	OZONATION	LC-QTOF MS	PURE WATER	12	KINETICS DEGRADATION MECHANISMS	Arias 2017 / HAZ MAT 338: 361-393
BEZAFLBATE	TREATMENT WITH FERRATE [VI] 5 me/L 10 mg/L	LC-DAD LC-NS		REMOVED >25%		Zhou 2015 J PHARM BIOMED ANAL 106: 37-45
CARBAZEPINE	OZONATION	LC-QTOF MS	PURE WATER	9	TOXICITY ASSESSMENT KINETICS DEGRADATION MECHANISMS	Arias 2017 / HAZ MAT 338: 361-393
PHOTODEGRADATION UV AT 254 NM UV/H2O2		LC-MS	PURE WATER	>18	TOXICITY ASSESSMENT	Alharbi 2017 PROCESS SAFETY AND ENVIR PROTECTION 112: 222-234
CHLORINATION	TREATMENT WITH FERRATE [VI] 5 mg/L 10 mg/L	LC-DAD LC-NS		4		Zhou 2015 J PHARM SCIENCE 106: 3745
pH=5		LC-UV LC-QTOF MS/MS			KINETICS EFFECT OF DIFFERENT CHLORINE DOSES	Soufan 2013 WATER RESEARCH 47: 5075-5087
pH=7						
pH=9						
STRESS STUDIES		LC-DAD	ORGANIC SOLUTIONS	7		
CEDROTOREN PISOPOL	HYDROLYSIS ALKALINE, NEUTRAL, ACIDIC	LC-TQ-MS		2		Gawande 2015 IND. J PHARM SCIENCE JAN/FEB: 75-82
THEMAL DEGRADATION		LC-UV			TOXICITY ASSESSMENT	
FENTON'S OXIDATION		LC-UV	SW	5	EFFECT OF INITIAL pH, CONC OF CIPRO, H2O2, Fe+2	Gupta 2010 CHemosphere 199: 161-168
PHOTOCATALYTIC DEGRADATION		LC-UV	LC-Q TOBITRAP MS	6	EFFECT pH, INITIAL CONC ARTIFICIAL VS SOLAR RADIATION	Shetty 2016 INDIAN CHEMICAL ENGINEER
N-COPOLY(TiO2)						
PHOTODEGRADATION		LC-MS/MS	RIVER WATER SYNTHETIC WW	5	KINETICS VERY FAST DEGRADATION	Babu 2013 CHemosphere 91: 1635-1642
SIMULATED SOLAR RADIATION					TOXICITY ASSESSMENT	
NATURAL SUNLIGHT						
PHOTODEGRADATIONS		LC-MS	PURE WATER	15		
UV AT 254 NM						
UV/H2O2						
CIPROFLOXACIN						
HYDROGENIC CAVITATION		LC-MS				
HETEROPHENIC PHOTOCATALYTIC DEGRADATION:						
UV/TiO2						
TREATMENT WITH FERRATE [VI] 5 me/L 10 mg/L		LC-DAD LC-NS		2	EFFECT OF INLET FLUID PRESSURE AND INITIAL pH	Bahl 2014 US SONOCHEMISTRY 21: 1035-1043
DICLOFENAC						
ELECTROCHEMICAL OXIDATION BDD		LC-QTOF MS LC-QBITRAP MS [C]-NS	PURE WATER	4		Zhou 2015 J PHARM SCIENCE 106: 37-45
OZONATION	ADVANCED OXIDATION PROCESS; HYDROXY, RADICAL-HYDRATED ELECTRON REDUCTION PROCESSES; 60°C-25°C-PRECIPITATION			13 (BDD + 2 OZONE) 3 (e-)	TOXICITY ASSESSMENT	Shah 2014 J CHROMATOGR A 1343: 152-159
ENDOFLAVACIN	PHOTODEGRADATION	LC-NS/MS	RIVER WATER SYNTHETIC WW	7	KINETICS VERY FAST DEGRADATION	Yu 2013 WATER RES 47: 1929-1938
	IMULATED SOLAR IRRADIATION;					
NATURAL SUNLIGHT						
STRESS STUDIES;						
HYDROLYSIS (ALKALINE, ACIDIC)		LC-UV				
PHOTOLYSIS (254 nm)		LC-QTOF MS		1 (batch + 3 acidic)		
OXIDATION (H2O2)		LC-MS		1		
ESOMEPRAZOLE	Thermal Degradation (140°C)			1	STABLE	Dome 2013 J SEP SCIENCE 36: 1200-1208

Fármaco	Tipo de estudio/dado	Instrumentación	Método	Productos de degradación	Observaciones	Referencia
EXENATANE	STRESS STUDIES. HYDROLYSIS (ALKALINE, ACIDIC) PHOTOLYSIS (254 nm) OXIDATION (H <sub>2</sub> O <sub>2</sub> ) THERMAL DEGRADATION	LC-MS/MS NMR IR	5 ACIDIC4 BASIC STABLE 4 STABLE			Sobczak K 2017 ENV J PHARM SCI 109: 389-401
FINGOLIMOD	HYDROLYSIS (ALKALINE, NEUTRAL, ACIDIC) PHOTOCHEMICAL OXIDATION THERMAL DEGRADATION PHOTODEGRADATION DIRECT UV / IRRADIATION UV/H <sub>2</sub> O <sub>2</sub> (254 nm)	UPLC-QTOF/MS NMR	ORGANIC-SOLUTIONS 5 (ALKALINE-H <sub>2</sub> O) STABLE STABLE			Parel 2015 J PHARM BIOMED ANAL 115: 286-294
FLUORENOL		LC-MS/MS		5		
GERMFIBROL	BIOTRANSFORMACION: ACTIVATED SEWAGE SLUDGE	LC-TOF MS	SURFACE WATER WW	1	RETROSPECTIVE ANALYSIS IN EWW AND SW POSITIVES FOUND ADDITIONAL METABOLITES FOUND IN REAL WATERS	Boix 2016 J HAZ MAT 302: 175-187
IBUPROFEN	BIOTRANSFORMACION: ACTIVATED SEWAGE SLUDGE	LC-TOF MS	SURFACE WATER WW	7	RETROSPECTIVE ANALYSIS IN EWW AND SW POSITIVES FOUND ADDITIONAL METABOLITES FOUND IN REAL WATERS	Boix 2016 J HAZ MAT 302: 175-187
INDOMETHACIN	HETEROGENEOUS PHOTOCATALYTIC DEGRADATION TC22-J-LED SYSTEM OXIDATION: FERRATE (VI)	LC-TOF-ICP-MS LC-MS/MS	ULTRAPURE WATER MUNICIPAL WW PHARMACY INDUSTRY WW	2	TOXICITY ASSESSMENT EFFECT OF INITIAL CATALYST LOAD TOXICITY ASSESSMENT	Jalali 2010 CHEMICAL ENG 34: 975-984
IRBESARTAN	BIOTRANSFORMATION: ACTIVATED SEWAGE SLUDGE	LC-TOF/MS	SURFACE WATER WW	8	RETROSPECTIVE ANALYSIS IN EWW AND SW POSITIVES FOUND ADDITIONAL METABOLITES FOUND IN REAL WATERS	Boix 2016 ENVIRON SCI POLLUT RES 24: 10746-10755
METFORMIN	ELECTROCHEMICAL OXIDATION: BDD	LC-MS/MS LC-QTOF/MS	WW EWV (EWV) PURE WATER	5	3 TBS found in WW, EWV and DW	Thaler 2013 STOCHEN 62: 121-129
METOPROCOL	ELECTROCHEMICAL OXIDATION: BDD COORDINATION PHOTOCATALYTIC DEGRADATION TC22	LC-QTOF MS LC-QTOF/MS LC-QCD/MS LC-QCD/MS	[BDD+11 (OZONE)]		KINETICS INITIAL pH	Faber 2014 J CHROMATOGR A 1333: 155-159
NALIDIXIC ACID	FENTON-LINE Fe <sup>2+</sup> /H <sub>2</sub> O <sub>2</sub> ADVANCED OXIDATION PROCESS	LC-UV LC-MS	LC-UV LC-MS	16	EFFECT OF INITIAL pH-3 AND 10/20 DOSE	Ramero 2013 INT J PHOTOCHEM Article ID: 139118
NAPROXEN	UV/CHLORINE PHOTOCATALYTIC DEGRADATION N-COPES TC22	LC-UV LC-QCD/MS LC-QCD/MS	LC-UV SYNTHETIC WW	8	EFFECT OF CHLORINE DOSE, pH, PRESENCE HUMIC ACIDS, Cd <sup>2+</sup> , HCO <sub>3</sub> <sup>-</sup> COMPARISON WITH DIRECT CHLORINATION AND ULTRASOUNDS, AND UV ALONE KINETICS	Fan 2013 ENVIR SCI POLLUT RES 20: 3646-3655
NORFLOXACIN	PHOTODEGRADATION SIMULATED SOLAR IRRADIATION NATURAL SUNLIGHT BIOTRANSFORMATION: ACTIVATED SEWAGE SLUDGE	LC-MS/MS LC-Q-ORBITRAP MS	RIVER WATER SYNTHETIC WW	*	EFFECT pH, INITIAL CONC ARTIFICIAL VS SOLAR RADIATION	Shetty 2016 INDIAN CHEMICAL ENGINEER
OFLOXACIN		LC-TOF MS	SURFACE WATER WW	1	RETROSPECTIVE ANALYSIS IN EWW AND SW POSITIVES FOUND ADDITIONAL METABOLITES FOUND IN REAL WATERS	Boix 2015 J HAZ MAT 302: 175-187
ONIFRAZOLE	HYDROLYSIS PHOTODEGRADATION: NATURAL SUNLIGHT SIMULATED SOLAR IRRADIATION CHI-IRRADIATION	LC-TOF MS		5		Boix 2013 MASS SPECTROM 48: 1091-1100
PABAETAMOL	PHOTOCATALYTIC DEGRADATION: H <sub>2</sub> O <sub>2</sub> /TiO <sub>2</sub>	LC-UV LC-Q-ORBITRAP MS		7	RETROSPECTIVE ANALYSIS IN EWW, EWW AND SW EFFECT pH, INITIAL CONC ARTIFICIAL VS SOLAR RADIATION	Shetty 2015 INDIAN CHEMICAL ENGINEER
LEVOFOLOXACIN	OXIDATION: OZONE H <sub>2</sub> O <sub>2</sub> /UV	LC-MS/MS	PURE WATER	4	TOXICITY ASSESSMENT KINETICS DIFFERENT OXIDANT CONCENTRATIONS, DIFFERENT CONTACT TIMES	El Nasjar 2013 CHEMOSPHERE 93: 604-611

Fármaco	Tipo de degradación	Instrumentación	Método	Productos de degradación	Observaciones	Referencia
LINICOKYGIN	HOT/HERMAL TREATMENT: 120-150 °C	LC-MS/MS	AQUEOUS SOLUTION	3	TOXICITY ASSESSMENT EFFECT OF TEMPERATURE, INITIAL CONC. PH	Jalluji 2018 CHEMICAL ENG J 33(6): 976-984
SILDENAFIL	PHOTODEGRADATION: SOLAR LIGHT	LC-MS/MS	DISTILLED WATER (WITH HUMIC AND FUVIC ACIDS)	9		Herbert 2015 CHemosphere 134: 557-562
SOFOBLUVIR	STRESS STUDIES: HYDROLYSIS (ALKALINE, NEUTRAL, ACID) 13 OXIDATION (H2O2)	LC-UV/MS LC-MS/MS		1 3 1		Nelson 2016 J. Chromatogr. Sci. 54: 1631-1640
	THERMAL DEGRADATION			3		
	PHOTODEGRADATION: UV AT 254 NM UV/H2O2	LC-MS	PURE WATER	1	STABLE	
SULFAMETHAZOLE	TREATMENT WITH FERRATE (VIE) 5 mg/L:10 mM	LC-DAD LC-MS		12	TOXICITY ASSESSMENT	Ahbari 2017 PROCESS SAFETY AND ENVIR PROTECTION 112: 222-234
SULFASALAZINE and its human metabolite (sulfapyridine and amine-salicylic acid)	PHOTODEGRADATION: UV/120°C UV/TELEONDISUATE	HPLC-DAD SPEC-MS/MS/MS		3		Zhou 2015 J. PHARM BIOMED ANAL 106: 57-65
	PHOTODEGRADATION: SIMULATED SOLAR IRRADIATION NATURAL SUNLIGHT	LC-MS/MS	MALLIQ SIMULATED NATURAL WATERS	4	KINETICS SULFASALAZINE PHOTOSTABLE	Ji 2018 Water Res 133: 298-309
	PHOTODEGRADATION: ABRASIVE BIODEGRADATION AERobic BIODEGRADATION PHOTO DEGRADATION: DIRECT UV IRRADIATION UV/120°C	LC-UV/MS/MS		1	KINETICS EFFECT PH	Yang 2013 WATER RESEARCH 47: 5555-5565
THALIDOMIDE	PHOTODEGRADATION: UV AT 254 NM UV/H2O2	LC-MS/MS		5	IN SILICO PREDICTION PHOTOPRODUCTS READILY BIODEGRADABLE	Mahmoud 2013 STOTEN 463-464: 140-150
THIAPHENICOL	PHOTODEGRADATION: UV/120°C UV/efft	LC-MS/MS	PURE WATER	5		Liu 2015 CHEMICAL ENG J 26(6): 826-834
TRIMETHOPRIM				>11	TOXICITY ASSESSMENT	Ahbari 2017 PROCESS SAFETY AND ENVIR PROTECTION 112: 222-234
VARDENAFIL	PHOTODEGRADATION: SOLAR LIGHT	LC-MS/MS	DISTILLED WATER (WITH HUMIC AND FUVIC ACIDS)	7		Herbert 2015 CHemosphere 134: 557-562
VENLEFAXINE	BIOTRANSFORMATION: ACTIVATED SEWAGE SLUDGE	LC-TOF MS	SURFACE WATER WW	8	RETROSPECTIVE ANALYSIS IN EWW AND SW POSITIVES FOUND ADDITIONAL METABOLITES FOUND IN REAL WATERS	Boek 2016 J. HAZ MAT 302: 172-187
	STRESS STUDIES: HYDROLYSIS (ALKALINE, NEUTRAL, ACID) PHOTOLYSIS OXIDATION THERMAL DEGRADATION	LC-MS/MS	PHARMACEUTICAL DOSE FORMS	1 (ACIDIC) 1 1		Jalluji 2014 J PHARM ANAL 4(2): 107-116
ZOTEPINE				1		

## ÍNDICE DE ACRÓNIMOS USADOS EN LAS TABLAS

nm No medido (not measured)

m. Muestra

WWTP Planta de tratamiento de agua residual (wastewater treatment plant)

EWW Efluente de la WWTP (effluent wastewater)

IWW Influente de la WWTP (influent wastewater)

GW Agua subterránea (groundwater)

SW Agua superficial (surface water)

SEAW Agua de mar (seawater)

TW Agua de red (tap water)

MW Agua mineral (mineral water)

RW Agua del influente de una planta potabilizadora (raw water)

DW Agua potable (drinking/drinkable water)

<LOD Por debajo del límite de detección (lower than the limit of detection)

<LOQ Por debajo del límite de cuantificación (lower than the limit of quantification)

- No hay información disponible

\* POCIS (Polar Organic Contaminants Integrative Samplers) (ng/g)

## **REFERENCIAS**

- Alharbi, S.K., Kang,J., Nghiem, L.D., van de Merwe J.P., Price, W.E. (2017) Photolysis and UV/H<sub>2</sub>O<sub>2</sub> of diclofenac, sulfamethoxazole, carbamazepine, and trimethoprim: Identification of their major degradation products by ESI-LC-MS and assessment of the toxicity of reaction mixtures, *Process Safety And Envir Protection* 112: 222-234
- Al Aukidy, M., Verlicchi, P., Jelic, A., Petrovic, M., & Barcelò, D. (2012). Monitoring release of pharmaceutical compounds: Occurrence and environmental risk assessment of two WWTP effluents and their receiving bodies in the Po Valley, Italy. *Science of the Total Environment*, 438, 15–25. <https://doi.org/10.1016/j.scitotenv.2012.08.061>
- Andrés-Costa, M. J., Carmona, E., & Picó, Y. (2016). Universal method to determine acidic illicit and illicit drugs and personal care products in water by liquid chromatography quadrupole time-of-flight. *MethodsX*, 3, 307–314. <https://doi.org/10.1016/j.mex.2016.04.004>
- Andreu, V., Gimeno-García, E., Pascual, J. A., Vazquez-Roig, P., & Picó, Y. (2016). Presence of pharmaceuticals and heavy metals in the waters of a Mediterranean coastal wetland: Potential interactions and the influence of the environment. *Science of the Total Environment*, 540, 278–286. <https://doi.org/10.1016/j.scitotenv.2015.08.007>
- Azaïs, A., Mendret, J., Cazals, G., Petit, E., Brosillon, S. (2017) Ozonation as a pretreatment process for nanofiltration brines: Monitoring of transformation products and toxicity evaluation, *J Hazard Mat* 338: 381-393
- Babić,S., Periša, M., Škorić, I. (2013) Photolytic degradation of norfloxacin, enrofloxacin and ciprofloxacin in various aqueous media, *Chemosphere* 91: 1635-1642
- Bagal, M.V., Gogate, P.R. (2014) Degradation of diclofenac sodium using combined processes based on hydrodynamic cavitation and heterogeneous photocatalysis. *US, Sonochemistry* 21: 1035-1043
- Boix, C., Ibáñez, M., Sancho, Parson, J.R., de Voogt, Pim, Hernández, F. (2016) Biotransformation of pharmaceuticals in surface water and during waste water treatment: Identification and occurrence of transformation products, *J Haz Mat* 302: 175-187
- Boix, C., Ibáñez, M., Sancho, J. V., Niessen, W. M. A., & Hernández, F. (2013). Investigating the presence of omeprazole in waters by liquid chromatography coupled to low and high resolution mass spectrometry: Degradation experiments. *Journal of Mass Spectrometry*, 48(10), 1091–1100. <https://doi.org/10.1002/jms.3260>
- Boix, C., Ibáñez, M., Sancho, J. V., Rambla, J., Aranda, J. L., Ballester, S., & Hernández, F. (2015). Fast determination of 40 drugs in water using large volume direct injection liquid chromatography-tandem mass spectrometry. *Talanta*, 131, 719–727. <https://doi.org/10.1016/j.talanta.2014.08.005>

- Boix, C., Ibáñez, M., Zamora, T., Sancho, J. V., Niessen, W. M. A., & Hernández, F. (2014). Identification of new omeprazole metabolites in wastewaters and surface waters. *Science of the Total Environment*, 468–469, 706–714. <https://doi.org/10.1016/j.scitotenv.2013.08.095>
- Boleda, M. R., Alechaga, É., Moyano, E., Galceran, M. T., & Ventura, F. (2014). Survey of the occurrence of pharmaceuticals in Spanish finished drinking waters. *Environmental Science and Pollution Research*, 21(18), 10917–10939. <https://doi.org/10.1007/s11356-014-2885-9>
- Borova, V. L., Maragou, N. C., Gago-Ferrero, P., Pistros, C., & Thomaidis, N. S. (2014). Highly sensitive determination of 68 psychoactive pharmaceuticals, illicit drugs, and related human metabolites in wastewater by liquid chromatography-tandem mass spectrometry. *Analytical and Bioanalytical Chemistry*, 406(17), 4273–4285. <https://doi.org/10.1007/s00216-014-7819-3>
- Bueno, M. J. M., Agüera, A., Hernando, M. D., Gómez, M. J., & Fernández-Alba, A. R. (2009). Evaluation of various liquid chromatography-quadrupole-linear ion trap-mass spectrometry operation modes applied to the analysis of organic pollutants in wastewaters. *Journal of Chromatography A*. <https://doi.org/10.1016/j.chroma.2009.06.047>
- Bueno, M. J. M., Gomez, M. J., Herrera, S., Hernando, M. D., Agüera, A., & Fernández-Alba, A. R. (2012). Occurrence and persistence of organic emerging contaminants and priority pollutants in five sewage treatment plants of Spain: Two years pilot survey monitoring. *Environmental Pollution*, 164, 267–273. <https://doi.org/10.1016/j.envpol.2012.01.038>
- Cabeza, Y., Candela, L., Ronen, D., & Teijon, G. (2012). Monitoring the occurrence of emerging contaminants in treated wastewater and groundwater between 2008 and 2010. The Baix Llobregat (Barcelona, Spain). *Journal of Hazardous Materials*, 239–240, 32–39. <https://doi.org/10.1016/j.jhazmat.2012.07.032>
- Cai, M-Q., Feng, L., Jiang, J., Qi, F., Zhang, L-Q. (2013) Reaction kinetics and transformation of antipyrine chlorination with free chlorine, *Water Res* 47: 2830-2842
- Camilleri, J., Baudot, R., Wiest, L., Vulliet, E., Cren-Olivé, C., Daniele G. (2015). Multiresidue full automated inline SPE-HPLC-MS/MS method for the quantification od endocrine-disrupting ans pharmaceutical compopunds at trace in surface water. *International Journal of Environmental Analytical Chemistry*, 95, 67-81. <https://doi.org/10.1080/03067319.2014.983494>
- Carmona, E., Andreu, V., & Picó, Y. (2014). Occurrence of acidic pharmaceuticals and personal care products in Turia River Basin: From waste to drinking water. *Science of the Total Environment*, 484(1), 53–63. <https://doi.org/10.1016/j.scitotenv.2014.02.085>
- Dahane, S., Gil García, M. D., Martínez Bueno, M. J., Uclés Moreno, A., Martínez Galera,

- M., & Derdour, A. (2013). Determination of drugs in river and wastewaters using solid-phase extraction by packed multi-walled carbon nanotubes and liquid chromatography-quadrupole-linear ion trap-mass spectrometry. *Journal of Chromatography A*, 1297, 17–28. <https://doi.org/10.1016/j.chroma.2013.05.002>
- Dasenaki, M. E., & Thomaidis, N. S. (2015). Multianalyte method for the determination of pharmaceuticals in wastewater samples using solid-phase extraction and liquid chromatography-tandem mass spectrometry. *Analytical and Bioanalytical Chemistry*, 407(15), 4229–4245. <https://doi.org/10.1007/s00216-015-8654-x>
- Díaz-Cruz, M. S., García-Galán, M. J., & Barceló, D. (2008). Highly sensitive simultaneous determination of sulfonamide antibiotics and one metabolite in environmental waters by liquid chromatography-quadrupole linear ion trap-mass spectrometry. *Journal of Chromatography A*, 1193, 50-59. <https://doi.org/10.1016/j.chroma.2008.03.029>
- Dong, Q., Zhu, J., Sui, Q., Tang, C., Wang, X., Yu, Y. (2013) Optimization of mobile phase for the determination of Esomeprazole and related compounds and investigation of stress degradation by LC–MS, *J Sep Science* 36: 1200-1208
- El Najjar, N.H. , Touffet, A., Deborde, M., Journel, R., Vel Leitner, N.K. (2013) Levofloxacin oxidation by ozone and hydroxyl radicals: Kinetic study, transformation products and toxicity, *Chemosphere* 93: 604–611
- Fan, X., Hao, H., Wang, Y., Chen, F., Zhang, J. (2013) Fenton-like degradation of nalidixic acid with Fe<sup>3+</sup>/H<sub>2</sub>O<sub>2</sub>, *Envir Sci Pollut Res* 20: 3649-3656
- Farré, M., Petrovic, M., Gros, M., Kosjek, T., Martinez, E., Heath, E., ... Barceló, D. (2008). First interlaboratory exercise on non-steroidal anti-inflammatory drugs analysis in environmental samples. *Talanta*. <https://doi.org/10.1016/j.talanta.2008.03.055>
- Fatta-Kassinos, D., Hapeshi, E., Achilleos, A., Meric, S., Gros, M., Petrovic, M., & Barcelo, D. (2011). Existence of Pharmaceutical Compounds in Tertiary Treated Urban Wastewater that is Utilized for Reuse Applications. *Water Resources Management*, 25(4), 1183–1193. <https://doi.org/10.1007/s11269-010-9646-4>
- Ferrer-Aguirre, A., Romero-González, R., Vidal, J. L. M., & Frenich, A. G. (2016). Simple and quick determination of analgesics and other contaminants of emerging concern in environmental waters by on-line solid phase extraction coupled to liquid chromatography-tandem mass spectrometry. *Journal of Chromatography A*, 1446, 27–33. <https://doi.org/10.1016/j.chroma.2016.04.009>
- Fick, J., Brodin, T., Heynen, M., Klaminder, J., Jonsson, M., Grbicova, K., ... Loos, R. (2017). Screening of benzodiazepines in thirty European rivers. *Chemosphere*, 176, 324–332. <https://doi.org/10.1016/j.chemosphere.2017.02.126>
- García-Galán, M. J., Garrido, T., Fraile, J., Ginebreda, A., Díaz-Cruz, M. S., & Barceló, D. (2010). Simultaneous occurrence of nitrates and sulfonamide antibiotics in two ground water bodies of Catalonia (Spain). *Journal of Hydrology*.

<https://doi.org/10.1016/j.jhydrol.2009.06.042>

- García-Galán, M. J., Díaz-Cruz, M. S., & Barceló, D. (2011). Occurrence of sulfonamide residues along the Ebro river basin. Removal in wastewater treatment plants and environmental impact assessment. *Environment International*, 37(2), 462–473. <https://doi.org/10.1016/j.envint.2010.11.011>
- García-Galán, M. J., Petrović, M., Rodríguez-Mozaz, S., & Barceló, D. (2016). Multiresidue trace analysis of pharmaceuticals, their human metabolites and transformation products by fully automated on-line solid-phase extraction-liquid chromatography-tandem mass spectrometry. *Talanta*, 158, 330–341. <https://doi.org/10.1016/j.talanta.2016.05.061>
- Garrido, E., Camacho-Muñoz, D., Martín, J., Santos, A., Santos, J. L., Aparicio, I., & Alonso, E. (2016). Monitoring of emerging pollutants in Guadiamar River basin (South of Spain): analytical method, spatial distribution and environmental risk assessment. *Environmental Science and Pollution Research*, 23(24), 25127–25144. <https://doi.org/10.1007/s11356-016-7759-x>
- Gawande, V.T., Bothara, V.T., Singh, A., Mahajan, A.A. (2015) Identification and Characterization of Hydrolytic Degradation Products of Cefditoren Pivoxil using LC and LC-MS/TOF, *Ind. J. Pharm Science*, Jan/Febr 75-82
- Gozlan, I., Rotstein, A., Avisar, D. (2013) Amoxicillin-degradation products formed under controlled environmental conditions: Identification and determination in the aquatic environment. *Chemosphere*, 91, 985-992
- Gracia-Lor, E., Sancho, J. V., & Hernández, F. (2011). Multi-class determination of around 50 pharmaceuticals, including 26 antibiotics, in environmental and wastewater samples by ultra-high performance liquid chromatography-tandem mass spectrometry. *Journal of Chromatography A*, 1218(16), 2264–2275. <https://doi.org/10.1016/j.chroma.2011.02.026>
- Gros, M., Petrović, M., & Barceló, D. (2009). Tracing pharmaceutical residues of different therapeutic classes in environmental waters by using liquid chromatography/quadrupole-linear ion trap mass spectrometry and automated library searching. *Analytical Chemistry*, 81, 898-912. <https://doi.org/10.1021/ac801358e>
- Gupta, A., Garg, A. (2018) Degradation of ciprofloxacin using Fenton's oxidation: Effect of operating parameters, identification of oxidized by-products and toxicity assessment, *Chemosphere* 193:1181-1188
- Herbert, L.P., Becker-Krail, D.B., Cory, W.C. (2015) Persistent phototransformation products of vardenafil (Levitra\_) and sildenafil (Viagra\_) *Chemosphere* 134: 557–562
- Huang, J., Wang, Y., Liu, G., Chen, P., Wang, F., Ma, J., Li, F., Liu, H., Lv, W. (2017) Oxidation of indometacin by ferrate (VI): kinetics, degradation pathways, and toxicity assessment, *Environ Sci Pollut Res* 24: 10786-10795

- Talluri, M.V.N.K., Kandimalla,N.R., Bandu, R., Chundi, D., Marupaka, R., Srinivas, R. (2014) Selective separation, detection of zotepine and mass spectral characterization of degradants by LC-MS/MS/QTOF, *J Pharm Anal* 4(2): 107-116
- Huerta-Fontela, M., Galceran, M. T., & Ventura, F. (2011). Occurrence and removal of pharmaceuticals and hormones through drinking water treatment. *Water Research*, 45(3), 1432–1442. <https://doi.org/10.1016/j.watres.2010.10.036>
- Huerta, B., Rodriguez-Mozaz, S., Nannou, C., Nakis, L., Ruhí, A., Acuña, V., ... Barcelo, D. (2016). Determination of a broad spectrum of pharmaceuticals and endocrine disruptors in biofilm from a waste water treatment plant-impacted river. *Science of the Total Environment*, 540, 241–249. <https://doi.org/10.1016/j.scitotenv.2015.05.049>
- Ibáñez, M., Gracia-Lor, E., Sancho, J. V., & Hernández, F. (2012). Importance of MS selectivity and chromatographic separation in LC-MS/MS-based methods when investigating pharmaceutical metabolites in water. Dipyrone as a case of study. *Journal of Mass Spectrometry*, 47(8), 1040–1046. <https://doi.org/10.1002/jms.3050>
- Juan, C., Igualada, C., Moragues, F., León, N., & Mañes, J. (2010). Development and validation of a liquid chromatography tandem mass spectrometry method for the analysis of β-agonists in animal feed and drinking water. *Journal of Chromatography A*. <https://doi.org/10.1016/j.chroma.2010.07.034>
- Köck-Schulmeyer, M., Ginebreda, A., Postigo, C., López-Serna, R., Pérez, S., Brix, R., ... Barceló, D. (2011). Wastewater reuse in Mediterranean semi-arid areas: The impact of discharges of tertiary treated sewage on the load of polar micro pollutants in the Llobregat river (NE Spain). *Chemosphere*, 82(5), 670–678. <https://doi.org/10.1016/j.chemosphere.2010.11.005>
- Kosma, C. I., Lambropoulou, D. A., & Albanis, T. A. (2014). Investigation of PPCPs in wastewater treatment plants in Greece: Occurrence, removal and environmental risk assessment. *Science of the Total Environment*, 466–467, 421–438. <https://doi.org/10.1016/j.scitotenv.2013.07.044>
- Lakade, S. S., Borrull, F., Furton, K. G., Kabir, A., Fontanals, N., & Marcé, R. M. (2015). Comparative study of different fabric phase sorptive extraction sorbents to determine emerging contaminants from environmental water using liquid chromatography-tandem mass spectrometry. *Talanta*, 144, 1342–1351. <https://doi.org/10.1016/j.talanta.2015.08.009>
- Liu, N., Sijak, S., Zheng, M., Tang, L., Xu, G., Wub, M. (2015) Aquatic photolysis of florfenicol and thiamphenicol under direct UV irradiation, UV/H<sub>2</sub>O<sub>2</sub> and UV/Fe(II) processes, *Chemical Eng J* 260: 826-834
- Loos, R., Tavazzi, S., Paracchini, B., Canuti, E., & Weisseiner, C. (2013). Analysis of polar organic contaminants in surface water of the northern Adriatic Sea by solid-phase extraction followed by ultrahigh-pressure liquid chromatography-QTRAP® MS using a

hybrid triple-quadrupole linear ion trap instrument. *Analytical and Bioanalytical Chemistry*, 405(18), 5875–5885. <https://doi.org/10.1007/s00216-013-6944-8>

López-Serna, R., Pérez, S., Ginebreda, A., Petrović, M., & Barceló, D. (2010). Fully automated determination of 74 pharmaceuticals in environmental and waste waters by online solid phase extraction-liquid chromatography- electrospray-tandem mass spectrometry. *Talanta*. <https://doi.org/10.1016/j.talanta.2010.09.046>

López-Serna, R., Petrović, M., & Barceló, D. (2012a). Direct analysis of pharmaceuticals, their metabolites and transformation products in environmental waters using on-line TurboFlow™ chromatography-liquid chromatography-tandem mass spectrometry. *Journal of Chromatography A*, 1252, 115–129. <https://doi.org/10.1016/j.chroma.2012.06.078>

López-Serna, R., Petrović, M., & Barceló, D. (2012b). Occurrence and distribution of multi-class pharmaceuticals and their active metabolites and transformation products in the Ebro River basin (NE Spain). *Science of the Total Environment*, 440, 280–289. <https://doi.org/10.1016/j.scitotenv.2012.06.027>

López-Serna, R., Postigo, C., Blanco, J., Pérez, S., Ginebreda, A., de Alda, M. L., ... Barceló, D. (2012c). Assessing the effects of tertiary treated wastewater reuse on the presence emerging contaminants in a Mediterranean river (Llobregat, NE Spain). *Environmental Science and Pollution Research*, 19(4), 1000–1012. <https://doi.org/10.1007/s11356-011-0596-z>

Luque-Espinar, J. A., Navas, N., Chica-Olmo, M., Cantarero-Malagón, S., & Chica-Rivas, L. (2015). Seasonal occurrence and distribution of a group of ECs in the water resources of Granada city metropolitan areas (South of Spain): Pollution of raw drinking water. *Journal of Hydrology*, 531, 612–625. <https://doi.org/10.1016/j.jhydrol.2015.10.066>

Faber, H., Lutze, H., Lareo, P.L., Frensemeier, L., Vogel, M., Schmidt, T.C., Karst, U. (2014) Liquid chromatography/mass spectrometry to study oxidative degradation of environmentally relevant pharmaceuticals by electrochemistry and ozonation, *J Chromatogr A* 1343: 152-159

Gao,Y-q., Gao, N-y., Chu, W-h., Yang, Q-l., Yin, D-g (2017) Kinetics and mechanistic investigation into the degradation of naproxen by a UV/chlorine process, *RSC Adv.* 7: 33627-33634

Jallouli, N., Pastrana-Martínez, L., Ribeiro A. F.F.Moreira, N., Faria, J.L., Bentati, O., Silva, A.m.T., Ksibi, M.(2018) Heterogeneous photocatalytic degradation of ibuprofen in ultrapure water, municipal and pharmaceutical industry wastewaters using a TiO<sub>2</sub>/UV-LED system, *Chemical Eng J* 334: 976-984

- Ji, Y., Yang, Y., Zhou, L., Wamg, L., Lu, J., Ferronato, C., Chovelon, J-M. (2018) Photodegradation of sulfasalazine and its human metabolites in water by UV and UV/peroxydisulfate processes, *Water Res* 133: 299-309
- Mahmoud, W.M.M., Trautwein, C., Leder, C., Kümmerer, K. (2013) Aquatic photochemistry, abiotic and aerobic biodegradability of thalidomide: Identification of stable transformation products by LC–UV–MSn, *STOTEN* 463-464: 140-150
- Martínez Bueno, M. J., Hernando, M. D., Agüera, A., & Fernández-Alba, A. R. (2009). Application of passive sampling devices for screening of micro-pollutants in marine aquaculture using LC-MS/MS. *Talanta*. <https://doi.org/10.1016/j.talanta.2008.09.047>
- Meffe, R., & de Bustamante, I. (2014). Emerging organic contaminants in surface water and groundwater: A first overview of the situation in Italy. *Science of the Total Environment*. <https://doi.org/10.1016/j.scitotenv.2014.02.053>
- Moslah, B., Hapeshi, E., Jrad, A., Fatta-Kassinos, D., & Hedhili, A. (2017). Pharmaceuticals and illicit drugs in wastewater samples in north-eastern Tunisia. *Environmental Science and Pollution Research*, 1–16. <https://doi.org/10.1007/s11356-017-8902-z>
- Munaron, D., Tapie, N., Budzinski, H., Andral, B., & Gonzalez, J. L. (2012). Pharmaceuticals, alkylphenols and pesticides in Mediterranean coastal waters: Results from a pilot survey using passive samplers. *Estuarine, Coastal and Shelf Science*, 114, 82–92. <https://doi.org/10.1016/j.ecss.2011.09.009>
- Muñoz, I., Gómez-Ramos, M. J., Agüera, A., Fernández-Alba, A. R., García-Reyes, J. F., & Molina-Díaz, A. (2009). Chemical evaluation of contaminants in wastewater effluents and the environmental risk of reusing effluents in agriculture. *TrAC - Trends in Analytical Chemistry*. <https://doi.org/10.1016/j.trac.2009.03.007>
- Nebsen, M., Elzanfaly, E.S.(2016) Stability-Indicating Method and LC–MS-MS Characterization of Forced Degradation Products of Sofosbuvir, *Journal of Chromatographic Science*, Vol. 54, No. 9, 1631–1640
- Osorio, V., Larrañaga, A., Aceña, J., Pérez, S., & Barceló, D. (2016a). Concentration and risk of pharmaceuticals in freshwater systems are related to the population density and the livestock units in Iberian Rivers. *Science of the Total Environment*, 540, 267–277. <https://doi.org/10.1016/j.scitotenv.2015.06.143>
- Osorio, V., Sanchís, J., Abad, J. L., Ginebreda, A., Farré, M., Pérez, S., & Barceló, D. (2016b). Investigating the formation and toxicity of nitrogen transformation products of diclofenac and sulfamethoxazole in wastewater treatment plants. *Journal of Hazardous Materials*, 309, 157–164. <https://doi.org/10.1016/j.jhazmat.2016.02.013>
- Parrilla Vázquez, M. M., Parrilla Vázquez, P., Martínez Galera, M., Gil García, M. D., & Uclés, A. (2013). Ultrasound-assisted ionic liquid dispersive liquid-liquid microextraction coupled with liquid chromatography-quadrupole-linear ion trap-mass spectrometry for simultaneous analysis of pharmaceuticals in wastewaters. *Journal of Chromatography*

A, 1291, 19–26. <https://doi.org/10.1016/j.chroma.2013.03.066>

- Pascual-Aguilar, J., Andreu, V., Gimeno-García, E., & Picó, Y. (2015). Current anthropogenic pressures on agro-ecological protected coastal wetlands. *Science of the Total Environment*, 503–504, 90–199. <https://doi.org/10.1016/j.scitotenv.2014.07.007>
- Patela, P.N., Kalariyaa, P.D., Gananadhamua, S. Srinivasa, R. (2015) Forced degradation of fingolimod: Effect of co-solvent and characterization of degradation products by UHPLC-Q-TOF-MS/MS and 1H NMR, *J Pharm Biomed Anal* 115: 388-394
- Pedrouzo, M., Borrull, F., Marcé, R. M., & Pocurull, E. (2008). Simultaneous determination of macrolides, sulfonamides, and other pharmaceuticals in water samples by solid-phase extraction and LC-(ESI) MS. *Journal of Separation Science*, 31, 2182-2188. <https://doi.org/10.1002/jssc.200700571>
- Pedrouzo, M., Borrull, F., Pocurull, E., & Marcé, R. M. (2011). Presence of pharmaceuticals and hormones in waters from sewage treatment plants. *Water, Air, and Soil Pollution*, 217(1–4), 267–281. <https://doi.org/10.1007/s11270-010-0585-8>
- Pitarch, E., Cervera, M. I., Portolés, T., Ibáñez, M., Barreda, M., Renau-Pruñonosa, A., ... Hernández, F. (2016). Comprehensive monitoring of organic micro-pollutants in surface and groundwater in the surrounding of a solid-waste treatment plant of Castellón, Spain. *Science of the Total Environment*, 548–549, 211–220. <https://doi.org/10.1016/j.scitotenv.2015.12.166>
- Racamonde, I., Rodil, R., Quintana, J. B., Villaverde-de-Sáa, E., & Cela, R. (2014). Determination of benzodiazepines, related pharmaceuticals and metabolites in water by solid-phase extraction and liquid-chromatography-tandem mass spectrometry. *Journal of Chromatography A*, 1352, 69–79. <https://doi.org/10.1016/j.chroma.2014.05.064>
- Robles-Molina, J., Gilbert-L??pez, B., Garc??a-Reyes, J. F., & Molina-D??az, A. (2014). Monitoring of selected priority and emerging contaminants in the Guadalquivir River and other related surface waters in the province of Ja??n, South East Spain. *Science of the Total Environment*, 479–480(1), 247–257. <https://doi.org/10.1016/j.scitotenv.2014.01.121>
- Romero, V., Marco, P., Giménez, J., Esplugas, S. (2013) Adsorption and Photocatalytic Decomposition of the -Blocker Metoprolol in Aqueous Titanium Dioxide Suspensions: Kinetics, Intermediates, and Degradation Pathways, *Int J Photoenergy Article ID: 138918* <http://dx.doi.org/10.1155/2013/138918>
- Rubirola, A., Boleda, M. R., & Galceran, M. T. (2017). Multiresidue analysis of 24 Water Framework Directive priority substances by on-line solid phase extraction-liquid chromatography tandem mass spectrometry in environmental waters. *Journal of Chromatography A*, 1493, 64–75. <https://doi.org/10.1016/j.chroma.2017.02.075>
- Ruhí, A., Acuña, V., Barceló, D., Huerta, B., Mor, J. R., Rodríguez-Mozaz, S., & Sabater, S. (2016). Bioaccumulation and trophic magnification of pharmaceuticals and endocrine

disruptors in a Mediterranean river food web. *Science of the Total Environment*, 540, 250–259. <https://doi.org/10.1016/j.scitotenv.2015.06.009>

Shetty, R., Chavan, V.B., Kulkarni, P.S., Kulkarni, B.D., Kamble, S.P., Photocatalytic Degradation of Pharmaceuticals Pollutants Using N-Doped TiO<sub>2</sub> Photocatalyst: Identification of CFX Degradation Intermediates, Indian Chemical Engineer, <http://dx.doi.org/10.1080/00194506.2016.1150794>

Soufan, M., Deborde, M., Delmont, A., Legube, B. (2013) Aqueous chlorination of carbamazepine: kinetic study and transformation product identification, *Water Res* 47: 5076-5087

Stolarczyk, E.U., Rosa,A., Kubiszewski,M., Zagrodzka,J., Cybulskib, M., Kaczmarekb, L. (2017) Use of the hyphenated LC-MS/MS technique and NMR/IR spectroscopy for the identification of exemestane stress degradation products during the drug development, *Env J Pharm Sci* 109: 389-401

Tanwar, S., Di Carro, M., & Magi, E. (2015). Innovative sampling and extraction methods for the determination of nonsteroidal anti-inflammatory drugs in water. *Journal of Pharmaceutical and Biomedical Analysis*, 106, 100–106. <https://doi.org/10.1016/j.jpba.2014.10.027>

Teijon, G., Candela, L., Tamoh, K., Molina-Díaz, A., & Fernández-Alba, A. R. (2010). Occurrence of emerging contaminants, priority substances (2008/105/CE) and heavy metals in treated wastewater and groundwater at Depurbaix facility (Barcelona, Spain). *Science of the Total Environment*, 408, 3584-3595. <https://doi.org/10.1016/j.scitotenv.2010.04.041>

Tisler, S., Zwiener, C. (2018) Formation and occurrence of transformation products of metformin in wastewater and surface water, STOTEN 628-629: 1121-1129

Vazquez-Rig, P., Andreu, V., Blasco, C., & Picó, Y. (2012). Risk assessment on the presence of pharmaceuticals in sediments, soils and waters of the Pego-Oliva Marshlands (Valencia, eastern Spain). *Science of the Total Environment*, 440, 24–32. <https://doi.org/10.1016/j.scitotenv.2012.08.036>

Yang, W., Ben Abdelmelek, S., Zheng, Z., An, T., Zhang, D., Song, W. (2013) Photochemical transformation of terbutaline (pharmaceutical) in simulated natural waters: Degradation kinetics and mechanisms, *Water Res* 47: 6558-6565

Yu, H., Nie, E., Xu, J., Yan, S., Cooper, W.J., Song, W (2013) Degradation of diclofenac by advanced oxidation and reduction processes: kinetic studies, degradation pathways and toxicity assessments, *Water Res* 47: 1909-1918

Zhou, Z., Jiang, J-Q. (2015) Treatment of selected pharmaceuticals by ferrate (VI): Performance, kinetic studies and identification of oxidation products, *J Pharm Science* 106: 37-45